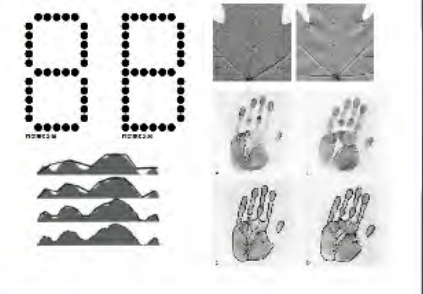


Rekognice

*Osobní
předměty*



Identifikace

Obličej

*Vnější tělesné
znaky*

Otisky



*Vnitřní tělesné
znaky*

DNA



Znaky na zubech



Znaky na kostře

SKUPINOVÁ IDENTIFIKACE

Odhad populační afinity



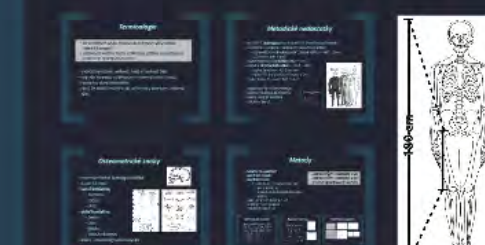
Určení pohlaví



Odhad dožitého věku



Rekonstrukce tělesných proporcí



Odhad populační afinity

Terminologie

- populaci aříhku, etnického délka moci, rovnou ařitosti, rovnou ařitosti v rámci jedné populace, ařitost k hromadným populacím, skupinové přesvědčení
- race, racek, podležnost, populacione ařitost, racial affinity, affinity to major populations, ancestry



vychází z "konceptu" "rasy" (= existenci velkých populací)

- 3 hlavní kategorie (kavkazská, negroická, mongoloidní)

• etnokoncept = genetických rozdílů s přiblížením k historickému vývoji dane populace

Metodika

- předpoklad pro biologické oddělení:
 - existencie populacione specifických znaků
 - mezičlověkovi rozdíly
 - vnitropopulacione homogenita
 - 3 základní problémové otázky:
 - význam a využití morfologických znaků
 - význam a využití osteometrických znaků
 - význam a využití genetických znaků



Jaký význam má určení populační afinity?

- "skupinová identifikace" - požadavek soudu a vyšetřovatelů
 - redukce skumu osob (pohřebovaných, vtipněných atd.)
 - předpoklad k použití došlých antropologických metod
- populace se liší ve velikosti pohlavních rozdílů, rychlost růstu a vývoje, věk matunce = metody pro určení pohlaví
- typ postavy a jiných exogenetických faktorů (kouzleniny, kouzlení, fyzička aktuální) mají vliv na postupné degenerativní změny spojené se stářím = metody pro odhad dobitého věku
- klíma, terénní aktivita, socioeconomické faktory ovlivňují růst a vývoj = metody pro odhad tělesných proporcí

Morfologie kostí

Morfoskopické znaky



Osteometrické znaky



Další vlastnosti kostí a kostní tkáně

Izotopy

DNA

• STR, SNP (polymorfismy)

Osobní předměty



Morfoskopické metody

- tradiční i alternativní klasifikační postupy
 - LDA
 - K-NN algoritmus
 - Random Forest Classification Trees



Osteometrické metody

Giles, E. et al. 1992

• využívají vlastnosti kostí, které jsou výsledkem adaptací k životním prostředím, vývoje a genetického漂變 (genetic漂變) vlivem výběru v genetickém materiálu



Ostatní analytické metody

Terminologie

- populační afinita, etnická afinita, rasa, rasová afinita, rasový fenotyp, rasový původ, afinita k hlavním populacím, skupinová příslušnost
- *race, racial background, population affinity, racial affinity, affinity to major populations, ancestry*
- vychází z "koncepce" "ras" (= existenci velkých populací)
- 3 hlavní kategorie (kavkazská, negroidní, mongoloidní)



- dnes koncepce geo-etnických rozdílů s přihlěhnutím k historickému vývoji dané populace

Metodika

předpoklad pro biologické odlišení

- existence populačně-specifických znaků
 - mezipopulační rozdíly
 - vnitropopulační homogenita
- 3 základní problémy ovlivňující přesnost/spolehlivost metod

- **migrace** a vyšší **mobilita** obyvatelstva (jednotlivců, skupin i populací) stírá původní biologické (morfológické) rozdíly
- biologické rozdíly mají multifaktoriální původ (klima, strava, sociální status)

- **biologické rozdíly se kombinují se sociálními kategoriemi** (hlavně v USA)
- **nejednotné koncepce typologie**
 - one-drop rule – afroameričané, američtí indiáni
 - pencil test – Jihoafrická republika - apartheid
 - "cor de pele" - odstín pleti rozhodující - Brazilci

Kontext střední Evropy a České republiky

- počet legálně žijících cizinců v ČR - 238 000
- mnohem méně než v okolních státech – 10% populace

Národnostní skupina	1991	2001	2011
Celkem	96	94	94
Mazurová	11,20	9,50	5,02
Slezská	0,40	0,10	0,10
Polská	0,20	0,00	0,00
Štěnická	3,10	1,60	0,92
Německá	0,50	0,40	0,20
Ukrajinská	0,10	0,20	0,50
Vietnamská	0,00	0,20	0,30
Maďarská	0,20	0,10	0,10
Bosenská	0,00	0,10	0,20
Rumunská	0,30	0,10	0,00
Ruská	0,00	0,00	0,00
Čínská/Němečkočínská	0,40	2,20	26,90

- **odlišné koncepce termínu "populace"**
 - skupina jedinců stejného původu (ancestry) – African-origin Americans
 - skupina jedinců geograficky vymezeného území - Američané, Kanadáné
 - skupina jedinců stejného etnika – Zulu kmeny
 - skupina jedinců stejného jazyka – Češi
 - sociálně vymezená skupina jedinců – Hispánci, Tutsi, Hutu

Kontext střední Evropy a České republiky

- počet legálně žijících cizinců v ČR - 238 000
- mnohem méně než v okolních státech – 10% populace

Národnostní skupina	1991 %	2001 %	2011 %
Češi	81,20	90,50	64,30
Moravané	13,20	3,70	5,00
Slezané	0,40	0,10	0,10
Poláci	0,60	0,50	0,40
Slováci	3,10	1,90	1,40
Němci	0,50	0,40	0,20
Ukrajinci	0,10	0,20	0,50
Vietnamci	0,00	0,20	0,30
Maďaři	0,20	0,10	0,10
Rusové	0,00	0,10	0,20
Romové	0,30	0,10	0,00
Rusíni	0,00	0,00	0,00
Ostatní/Neuvedeno	0,40	2,20	26,90

Morfologie kostí

Morfoskopické znaky

- znaky nemetrické, kvalitativní
- určeny výšší četnosti určitého znaku v dané populaci
- neznamená to, že se u ostatních skupin nemůže vyskytnout!!!
- při hodnocení označená vámě přítomnost/nepřítomnost znaku nebo stupeň projevu znaku



Osteometrické znaky

- znaky metrické, morfometrické, kvantitativní
- určeny velikostními a tvarovými rozdíly mezi populacemi

Kraniometrické znaky

- celková morfologie lebky - maximální délka/síťka/výška
- rozdíly bázové - řídko/lehko
- rozdíly středního sloučeje

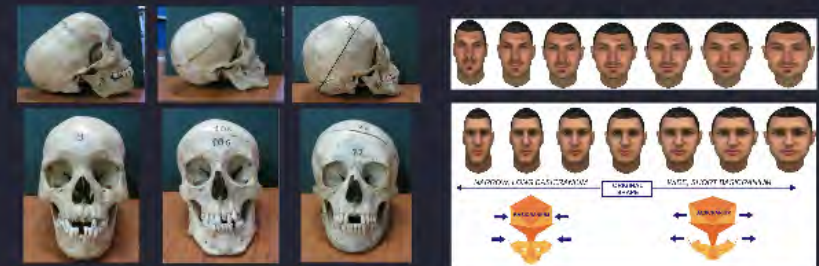


Znaky na postkraniálním skeletu

- krátká lebka v této množství neurospinalních mozdlo - vlivem genetického faktoru nebo vlivem houževnatého proteinu
- starší genetický vliv vývoje neurospinalního mozdlo - stáří populace
- specifické znaky
- vzdálení proporce končetin
- pádování ruky
 - vlivem genetického vlivu u konzidera
- ruka je malá
 - výška - nejdoplnější znak
 - šířka - kauzální znak
- ženská
 - plavýméně - opakující se výrovná funkce u kyphometricky
 - délka u polohy římsu

Morfoskopické znaky

- znaky nemetrické, kvalitativní
- určeny vyšší četností určitého znaku v dané populaci
- neznamená to, že se u ostatních skupin nemůže vyskytnout!!!
- při hodnocení zaznamenáváme přítomnost/nepřítomnost znaku nebo stupeň projevu znaku



Znaky typické pro populace evropského původu



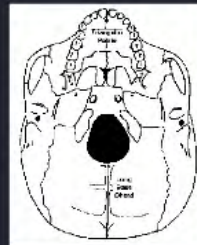
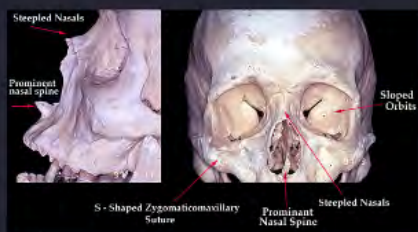
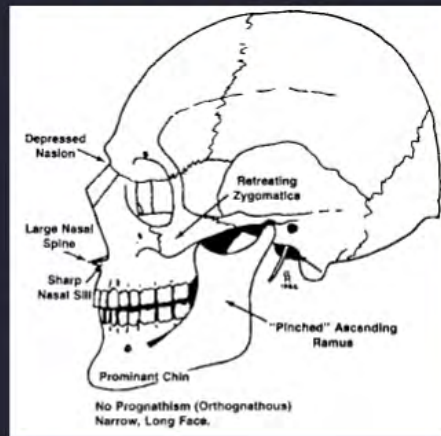
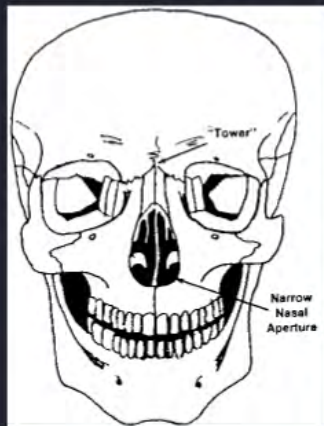
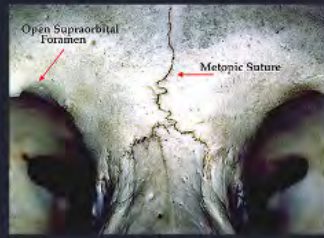
Znaky typické pro populace afrického původu



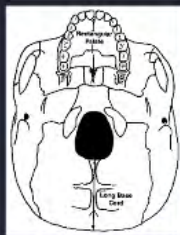
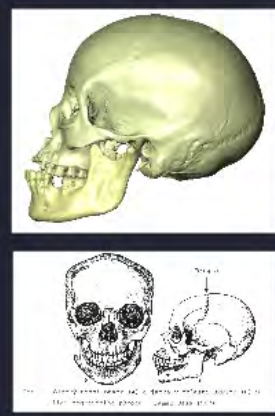
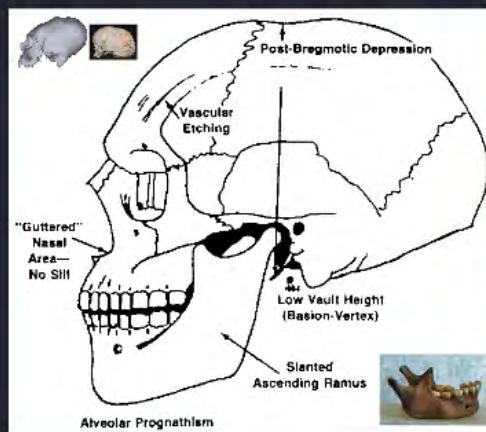
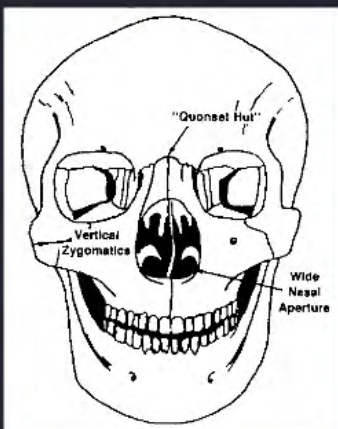
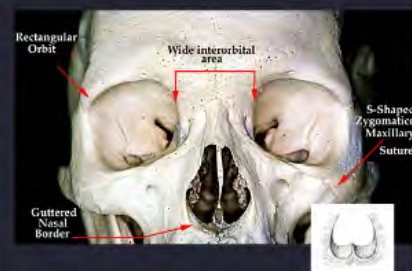
Znaky typické pro populace asijského původu



Znaky typické pro populace evropského původu

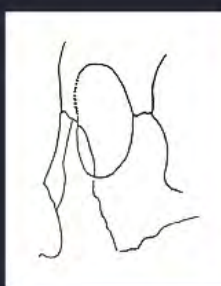


Znaky typické pro populace afrického původu

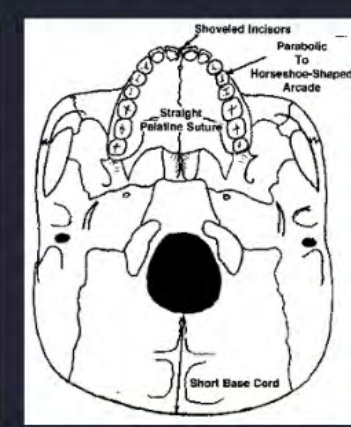
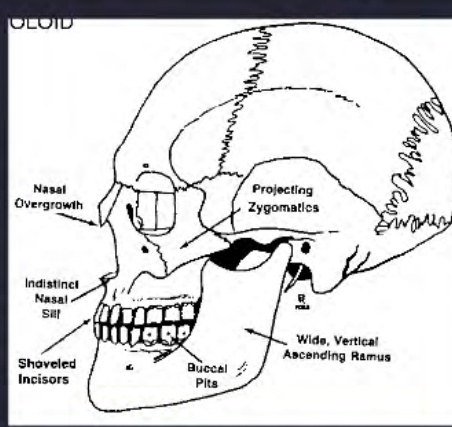
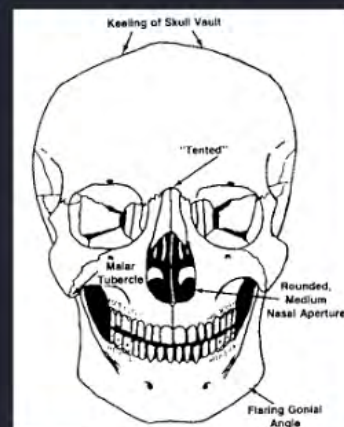
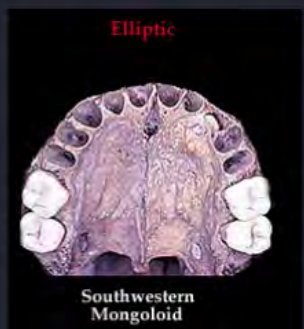


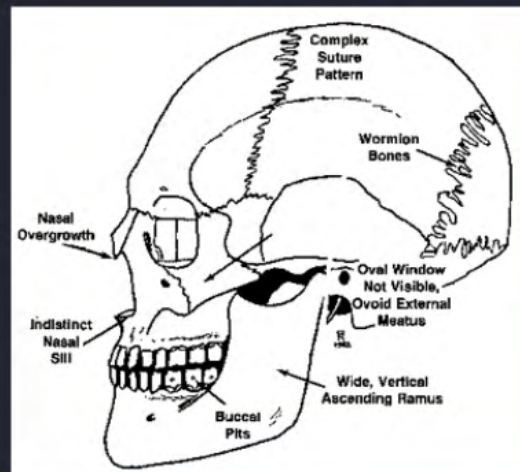
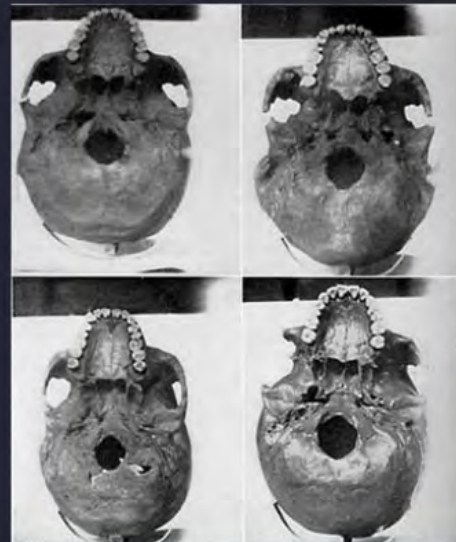
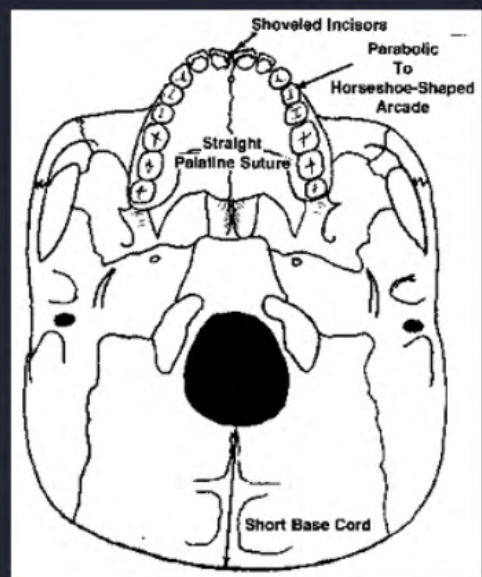
- kratší a širší nasolakrimální kanál
- zdvojená foramina mentalia

Znaky typické pro populace asijského původu



• os zygomaticum
bipartitum



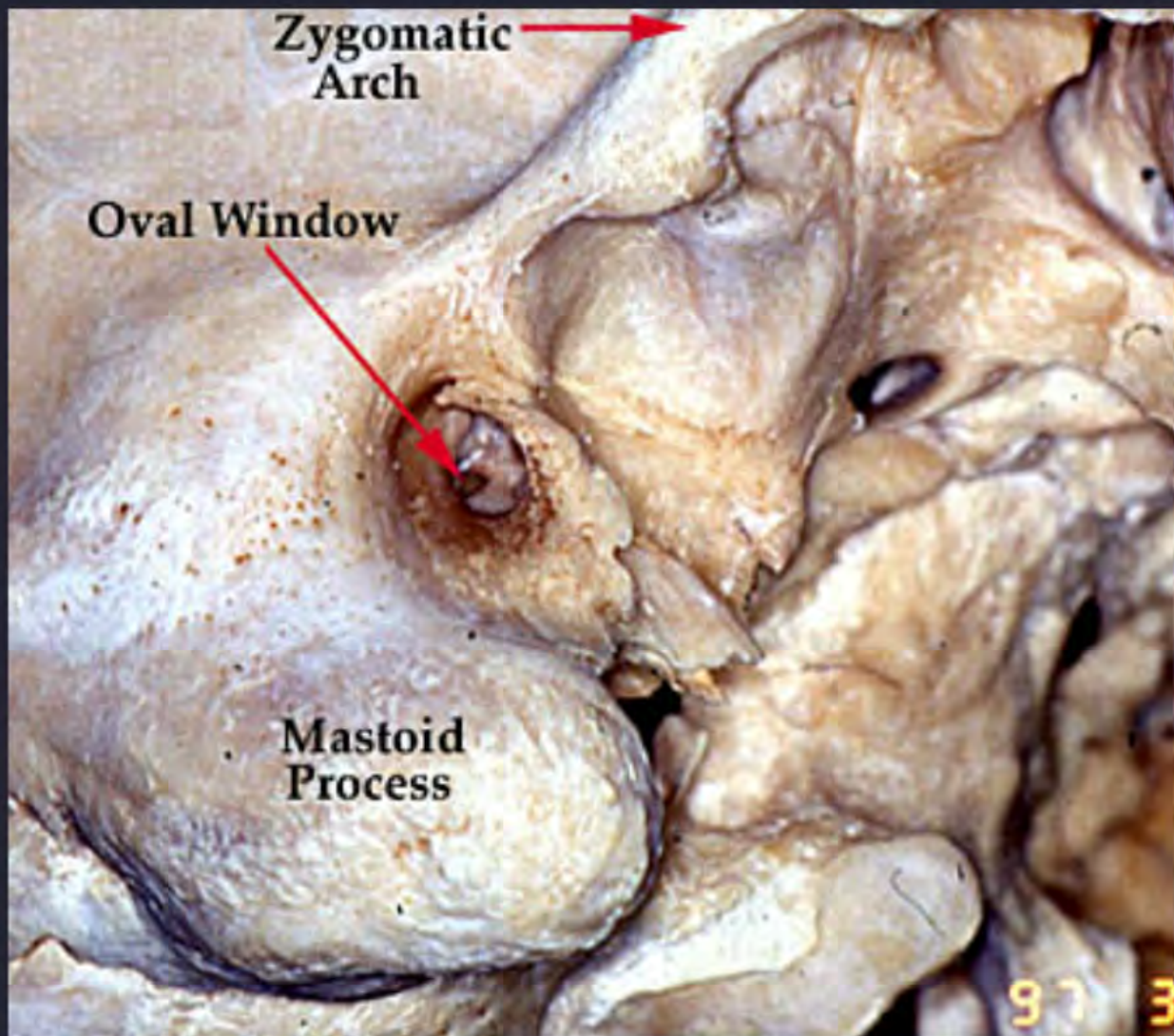






- mediosagitální hřeben
- mohutná mandibula
- torus occipitalis
- veliké zuby – hlavně moláry

FENESTRUM VESTIBULI



*viditelnost
fenestra vestibuli
(ovalis) přes
meatus acusticus
externus, viditelný
u evropských a
afričkých populací,
neviditelný u
Asiatů*

Osteometrické znaky

- znaky metrické, morfometrické, kvantitativní
- určeny velikostními a tvarovými rozdíly mezi populacemi

Kraniometrické znaky

- celková morfologie lebky - maximální délka/šířka/výška
- rozměry báze - šířka/lebka
- rozměry středního obličeje



Giles and Elliot

- délka obličeje (basion-prosthion, M40)
- největší délka lebky (glabella-opistocranion, M1)
- největší šířka lebky (euryon-euryon, M8)
- basiobregmatická výška lebka (basion-bregma, M17)
- délka báze lebky (basion-nasion, M5)
- bizygomatická šířka obličeje (zygion-zygion, M45)
- výška horního obličeje (prosthion-nasion, M48)
- šířka nosu (operthion-operthion, M54)

Znaky na postkraniálním skeletu

- každá kost v těle – určité množství mezipopulačních rozdílů – důležité pro aplikaci jiných metod určení biologického profilu
- hlavně jako rozdílný vzorec sexuálního dimorfismu – střídají populačně specifické znaky
- rozdílné proporce končetin
- **pánevní kosti**
 - všechny rozměry větší u kavkazoidů
- **tvar kostí křížové**
 - vysoké – negroidní znak
 - široké – kavkazoidní znak
- **femur**
 - platymerie – oploštění proximálního konce u Afroameričanů
 - délka a zakřivení femuru

Kraniometrické znaky

- celková morfologie lebky - maximální délka/šířka/výška
- rozměry báze - šířka/lebka
- rozměry středního obličeje



Giles and Elliot

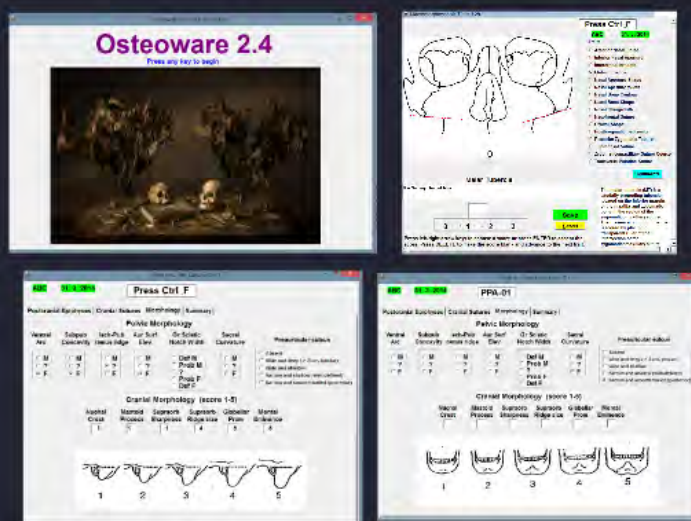
- délka obličeje (basion-prosthion, M40)
- největší délka lebky (glabella-opistocranion, M1)
- největší šířka lebky (euryon-euryon, M8)
- basiobregmatická výška lebka (basion-bregma, M17)
- délka báze lebky (basion-nasion, M5)
- bizygomatická šířka obličeje (zygion-zygion, M45)
- výška horního obličeje (prosthion-nasion, M48)
- šířka nosu (aperthion-aperthion, M54)

Znaky na postkranialním skeletu

- každá kost v těle – určité množství mezipopulačních rozdílů – důležité pro aplikaci jiných metod určení biologického profilu
- hlavně jako rozdílný vzorec sexuálního dimorfismu – stírá populačně specifické znaky
- rozdílné proporce končetin
- **pánevní kosti**
 - všechny rozměry větší u kavkazoidů
- **tvar kosti křížové**
 - vysoké – negroidní znak
 - široké – kavkazoidní znak
- **femur**
 - platymerie – oploštění proximálního konce u Afroameričanů
 - délka a zakřivení femuru

Morfoskopické metody

- tradiční i alternativní klasifikační postupy
- LDA
- K-NN algoritmus
- Random Forest Classification Trees



Trait		Expression		
Character State Score	Slight	Intermediate	Marked	
OSSA Score	1	2	3	
Inferior Nasal Aperture (INA)	0	1	1	
Character State Score	Pronounced Slope	Moderate Slope	Straight	Partial Sill
OSSA Score	1	2	3	4
Interorbital Breadth (IOB)	0	0	0	1
Character State Score	Narrow	Intermediate	Wide	
OSSA Score	1	2	3	
Nasal Aperture Width (NAW)	1	1	0	
Character State Score	Narrow	Medium	Broad	
OSSA Score	1	2	3	
Nasal Bone Structure (NBS)	0	1	0	
Character State Score	Low/Round	Oval	Marked Plateau	Narrow Plateau
OSSA Score	0	1	2	3
Post-Bregmatic Depression (PBD)	0	0	1	1
Character State Score	Absent	Present		
OSSA Score	0	1		

Osteometrické metody

Giles, Elliot 1962

$W-N = 3,06^* \text{ basion-prosthion} + 1,6^* \text{ glabella- opistocranion} - 1,9^* \text{ euryon-euryon} - 1,79^* \text{ basion-bregma} - 4,41^* \text{ basion-nasion} - 0,1^* \text{ zygion-zygion} + 2,59^* \text{ prosthion-nasion} + 10,56^* \text{ aperthion-aperthion}$

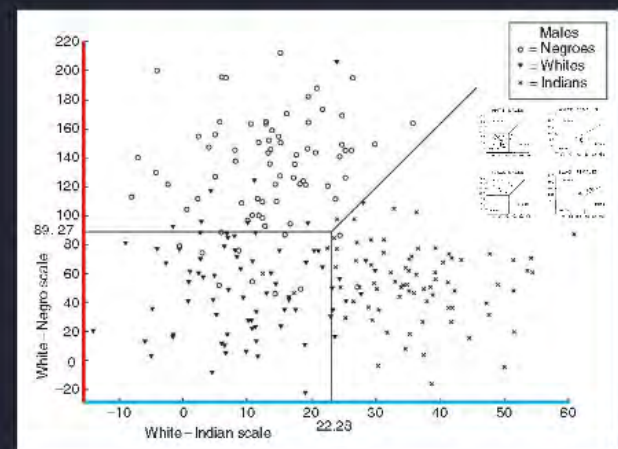
$W-In = 0,10^* \text{ basion-prosthion} - 0,25^* \text{ glabella- opistocranion} - 1,56^* \text{ euryon-euryon} + 0,73^* \text{ basion-bregma} - 0,29^* \text{ basion-nasion} + 1,75^* \text{ zygion-zygion} - 0,16^* \text{ prosthion-nasion} - 0,84^* \text{ aperthion-aperthion}$

pokud $W-In > 130,1$ a současně $W-N > 0,48^*W-In + 29,6$ pak afroamerický původ lebky

pokud $W-In < 130,1$ a současně $W-N > 92,2$ pak afroamerický původ lebky

pokud $W-In > 130,1$ a současně $W-N < 0,48^*W-In + 29,6$ pak severoamerický původ

pokud $W-In < 130,1$ a současně $W-N < 92,2$ pak evropský původ



FORDISC 2.0, 3.0

Stephen Ousley, Richard Jantz

- Forensic Data Bank Groups
 - 12 skupin, 8 populací (vezme 2 pouze 11 skupin)
 - American Blacks (F+M): 196 mužů, 139 žen (Terry Collection)
 - American Indians (F+M): 35 mužů, 29 žen
 - American Whites (F+M): 474 mužů, 304 žen
 - Chinese Males: 79 mužů
 - Guatemalan Males: 83 mužů
 - Hispanic: 88 mužů
 - Japanese: 100 mužů, 100 žen
 - Vietnamese Males: 51 mužů

- Howellsova databáze – 28 populací
 - odděleny od sebe mužské a ženské lebky, protože u některých souborů jsou k dispozici pouze mužské lebky!
 - plotí provádě, že pranázejeme analýzu pouze na skupiny relevantní k pořešení forenzního případu

3D-ID

Denis Slice, Ann H. Ross

- 16 skupin, 8 populací (nejnověji 28 skupin)
- vstupní data – kartézské souřadnice antropometrických bodů
- 34 hodů (13 párových, 8 nepárových)



Postkraniální skelet

- FORDISC
- ulnární index – obvod:délce
 - nízký – Austrálie
 - vysoký – Evropa
- tvar scapuly
 - široká – kavkazoidní znak
 - úzká, vysoká – negroidní znak
- femur
 - délka ~ 450 mm – negroidní znak
 - délka ~ 420 mm – kavkazoidní znak

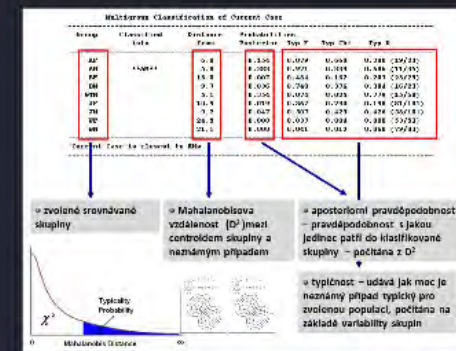
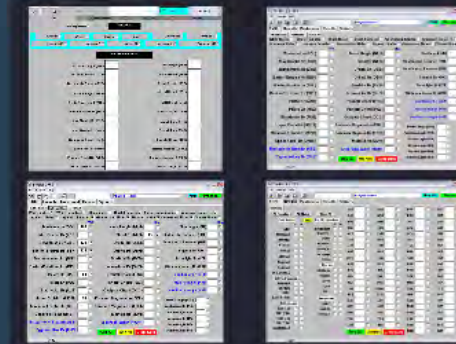


FORDISC 2.0, 3.0

Stephen Ousley, Richard Jantz

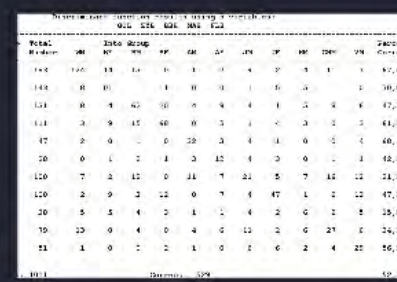
- **Forensic Data Bank Groups**

- 12 skupin, 8 populací (verze 2 pouze 11 skupin)
- American Blacks (F+M): 196 mužů, 130 žen (Terry Collection)
- American Indians (F+M): 35 mužů, 29 žen
- American Whites (F+M): 474 mužů, 304 žen
- Chinese Males: 79 mužů
- Guatemalan Males: 83 mužů
- Hispanics: 88 mužů
- Japanese: 100 mužů, 100 žen
- Vietnamese Males: 51 mužů

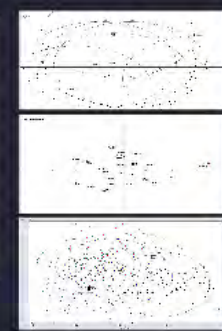


- **Howellsova databáze – 28 populací**

- odděleny od sebe mužské a ženské lebky, pozor u některých souborů jsou k dispozici pouze mužské lebky!
- platí pravidlo, že omezujeme analýzu pouze na skupiny relevantní k pohledu řešení forenzního případu!



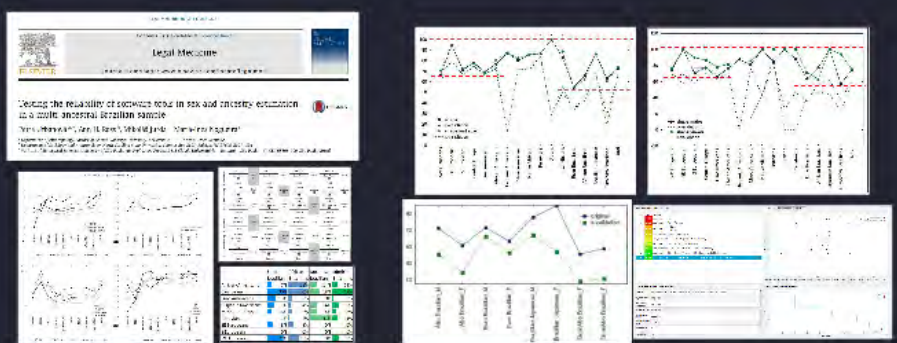
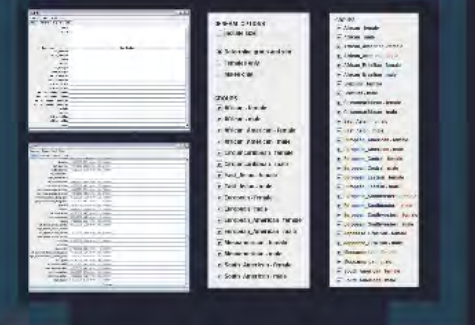
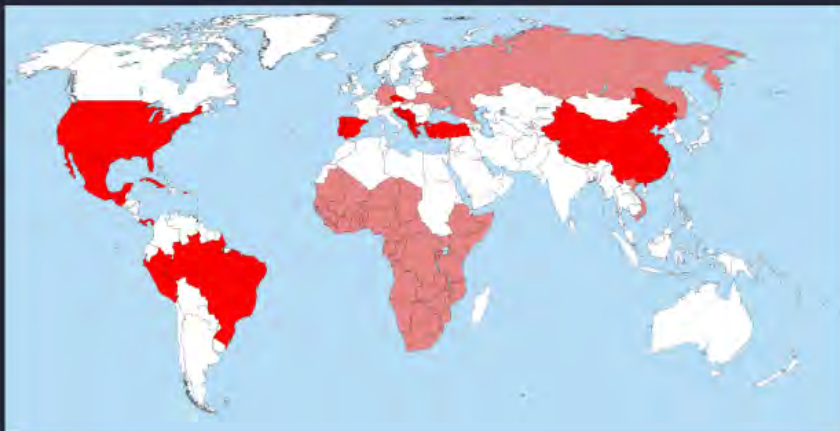
Populace	celkový počet	mužský počet	ženský počet	AF	AS	HN	BL	SP	EP	IN	TH	VI	WB	PERCENTAGE
Afroamerické	144	100	44	0	0	0	0	0	0	0	0	0	0	100,0%
Asiatické	144	8	62	50	8	4	1	15	2	8	42,9%	0	0	0
Caucasoid	111	3	9	15	40	0	1	1	3	1	1	1	1	41,2%
Indiánští	47	2	0	0	28	0	4	1	0	1	1	0	1	40,4%
Latinoamerické	20	0	1	1	3	12	0	0	0	1	1	0	0	10,0%
Asian	120	7	2	12	0	11	1	21	5	7	12	12	12	21,0%
Black	120	2	9	2	12	0	7	17	1	2	12	12	12	47,0%
Hispanic	20	5	5	4	2	1	2	4	2	0	1	0	0	25,0%
Japanese	19	10	0	4	0	4	0	12	2	6	21	0	0	24,2%
Vietnamese	21	1	0	2	1	0	0	6	2	4	20	0	0	56,2%



3D-ID

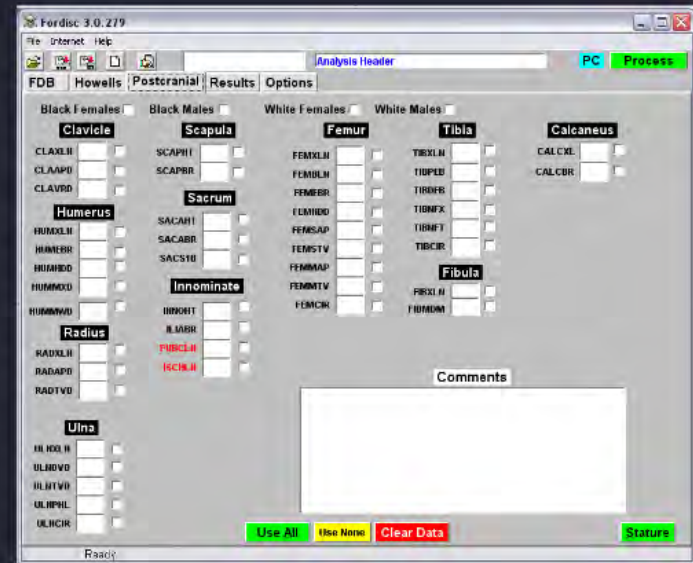
Denis Slice, Ann H. Ross

- 16 skupin, 8 populací (nejnověji 28 skupin)
- vstupní data – kartézské souřadnice antropometrických bodů
- 34 bodů (13 párových, 8 nepárových)



Postkraníální skelet

- FORDISC
- **ulnární index** – obvod:délce
 - nízký – Austrálie
 - vysoký - Evropa
- **tvar scapuly**
 - široká – kavkazoidní znak
 - úzká, vysoká – negroidní znak
- **femur**
 - délka ~ 450 mm – negroidní znak
 - délka ~ 420 mm – kavkazoidní znak



Určení pohlaví

Terminologie

- určení pohlaví, determinace pohlaví
 - sex determination, sex estimation, sex assessment, sexing, gender determination
- vychází z pohlavního dvouvrstvosti (dimorfismu) kostí a kůže
 - určujeme somatické pohlaví (vs. genetické, popř. gonadální)



Metodika



Morfologie kostí

Morfoskopické znaky



Osteometrické znaky



Morfoskopické metody

Brown & Thompson 1972



Kroonen et al. 1983



Tremblay et al. 1990



Pruett 1993



Höglund 2002



Osteometrické metody

Zwynne 1985



Van der Waerden, Meindl 2003



CSBRP



Terminologie

- určení pohlaví, determinace pohlaví
 - *sex determination, sex estimation, sex assessment, sexing, gender determination*
-
- vychází z pohlavního dvoutvárnosti (dimorfismu) kostí a kostní tkáně
 - určujeme somatické pohlaví (vs. genetické, popř. gonadální)

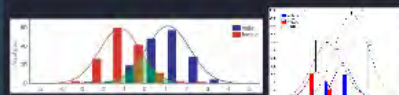
Sexuální dimorfismus

- v porovnání s ostatními živočišnými druhy - nízký stupeň pohlavních rozdílů
 - každý typ kosti v těle člověka vykazuje určitý stupeň pohlavních rozdílů
 - velikost pohlavních rozdílů závisí
 - funkce
 - ontogenetický vývoj
 - zaprogramované
- Indexy sexualizace
- Využití velikosti pohlavních rozdílů daného znaku
 - **pozitivní**
 - výšší stupeň projevu daného znaku u mužů
 - většína kostí lidského skeletu
 - **negativní**
 - výšší stupeň projevu daného znaku u žen
 - např. pánovní kosti

Sexuální dimorfismus

2 základní složky

- rozdíly mezi průměrnými hodnotami
- rozdíly mezi variabilitou, tj. SD, rozptyl



Zdroje populačních rozdílů v pohlavních rozdílech

- velikost pohlavních rozdílů je odrazem **stability** a **zdravotního stavu** populace
 - krátkodobé výkyvy průměrných rozdílů mezi mužským a ženským projevem znaku
 - rozdílná adaptacní strategie mužů a žen na nepříznivé podmínky
 - chronický stres
 - podvýživa
 - epidemie
 - sekulární trend
- "sexism in sexing" paradox (Walker 1995)

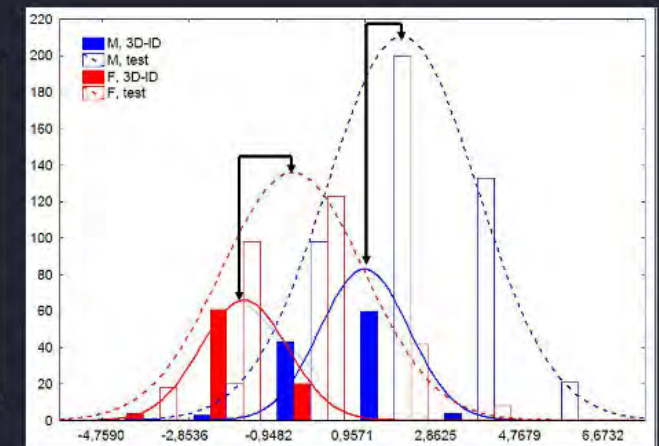
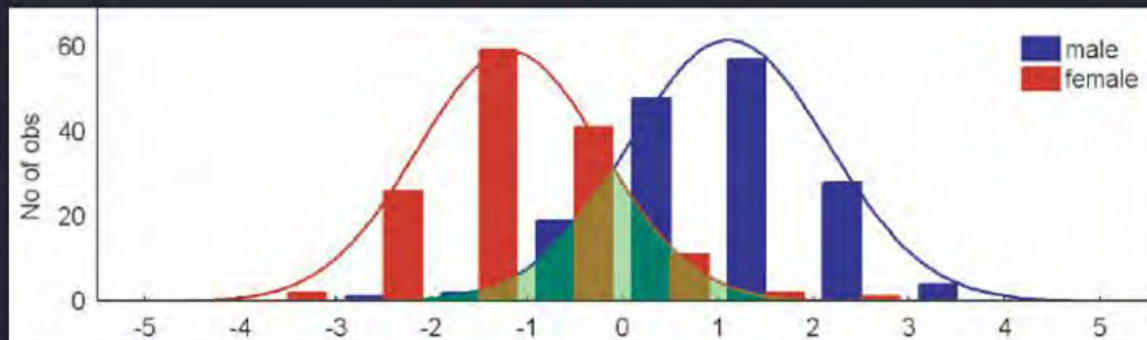
Sexuální dimorfismus

- v porovnání s ostatními živočišnými druhy - nízký stupeň pohlavních rozdílů
- každý typ kosti v těle člověka vykazuje určitý stupeň pohlavních rozdílů
- velikost pohlavních rozdílů závisí
 - funkci
 - ontogenezi
 - topografii
- **indexy sexualizace**
 - vyjádření velikost pohlavních rozdílů daného znaku
 - **pozitivní**
 - vyšší stupeň projevu daného znaku u mužů
 - většina kostí lidského skeletu
 - **negativní**
 - vyšší stupeň projevu daného znaku u žen
 - např. pánevní kosti

Sexuální dimorfismus

2 základní složky

- rozdíly mezi průměrnými hodnotami
- rozdíly mezi variabilitou, tj. SD, rozptyl

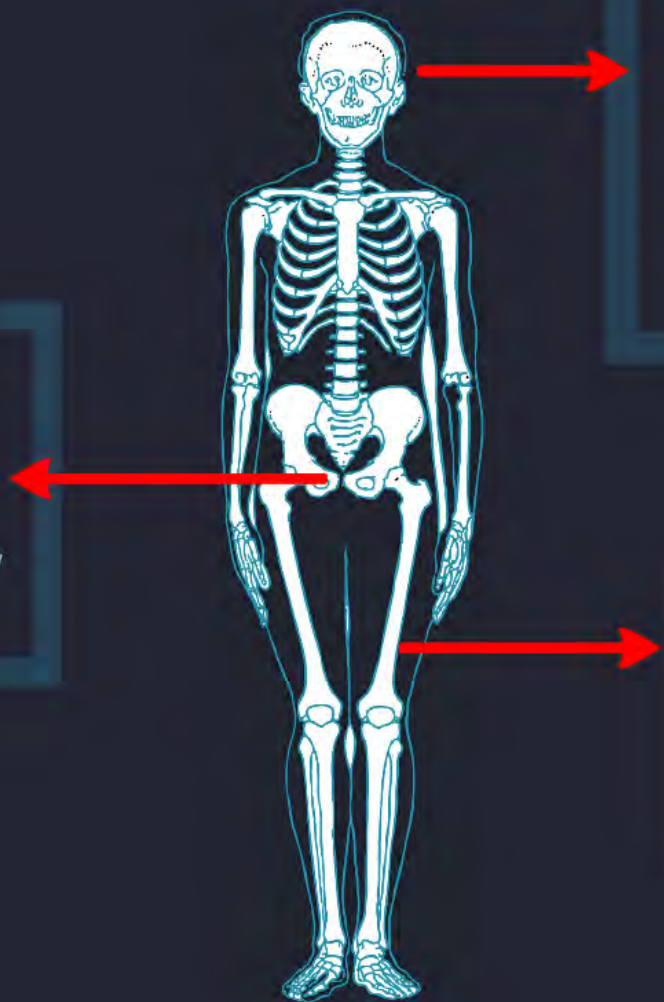


Zdroje populačních rozdílů v pohlavních rozdílech

- velikost pohlavních rozdílů je odrazem **stability a zdravotního stavu** populace
 - krátkodobé výkyvy průměrných rozdílů mezi mužským a ženským projevem znaku
 - rozdílná adaptační strategie mužů a žen na nepříznivé podmínky
 - chronický stres
 - podvýživa
 - epidemie
 - sekulární trend
- "sexism in sexing" paradox (Walker 1995)

Metodika

- PÁNEV**
- 2 základní mechanismy vzniku pohlavních rozdílů
 - působení pohlavních hormonů
 - velikost těla
 - pánevní kosti>sacrum
 - menší počet znaků, ale větší pohlavní rozdíly
 - velmi křehké a porózní
 - menší mezipopulační rozdíly



- LEBKA**
- 4 základní mechanismy vzniku pohlavních rozdílů
 - velikost těla
 - působení pohlavních hormonů
 - olometrie
 - prodloužená maturace
 - cranium>mandibula
 - splanchnocranum>neurocranium
 - více pohlavně dimorfických znaků
 - lépe zachováno z pohledu tafonomie
 - veliké mezipopulační rozdíly

- POSTKRANIÁLNÍ SKELET**
- primárně efekt velikosti těla
 - šířka>délka
 - veliké mezipopulační rozdíly

PÁNEV

- 2 základní mechanismy vzniku pohlavních rozdílů
 - působení pohlavních hormonů
 - velikost těla
- pánevní kosti>sacrum
- menší počet znaků, ale větší pohlavní rozdíly
- velmi křehké a porózní
- menší mezipopulační rozdíly

LEBKA

- 4 základní mechanismy vzniku pohlavních rozdílů
 - velikost těla
 - působení pohlavních hormonů
 - alometrie
 - prodloužená maturace
- cranium>mandibula
- splanchnocranium>neurocranium
- více pohlavně dimorfních znaků
- lépe zachováno z pohledu tafonomie
- velké mezipopulační rozdíly

POSTKRANIÁLNÍ SKELET

- primárně efekt velikosti těla
- šířka>délka
- veliké mezipopulační rozdíly

Morfologie kostí

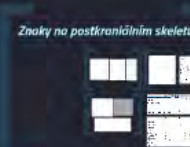
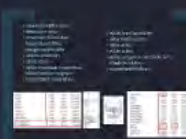
Morfoskopické znaky

- kvalitativní rozdíly
- přítomnost/nepřítomnost znaků – odlišná reprodukční úloha
- rozdílný rozvoj znaků - velikost, tvaru, robustita – svalové úpony



Osteometrické znaky

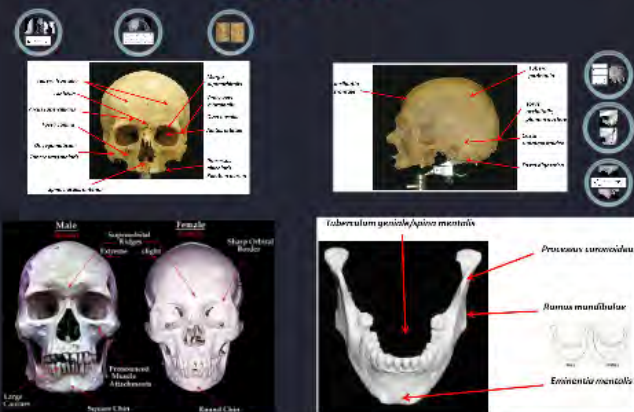
- znaky metrické, morfometrické, kvantitativní
- **kvantitativní rozdíly**
- určeny velikostními a tvarovými rozdíly mezi pohlavími
 - délka kostí – odraz velikosti těla
 - tloušťka kostí – odraz robusticity těla



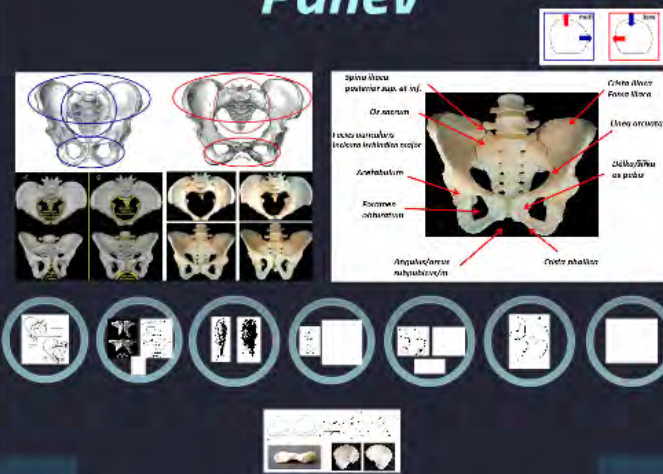
Morfoskopické znaky

- kvalitativní rozdíly
- přítomnost/nepřítomnost znaků – odlišná reprodukční úloha
- rozdílný rozvoj znaků - velikost, tvaru, robusticita – svalové úpony

Lebka



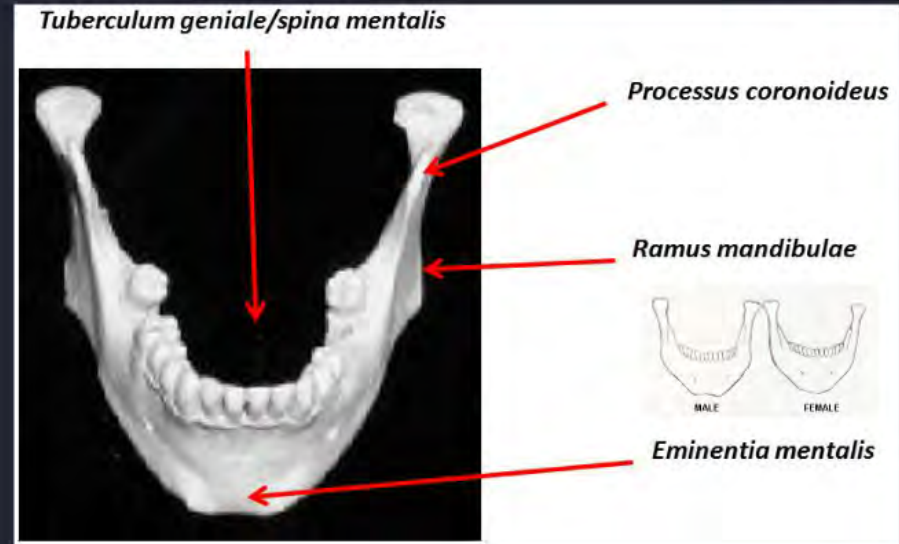
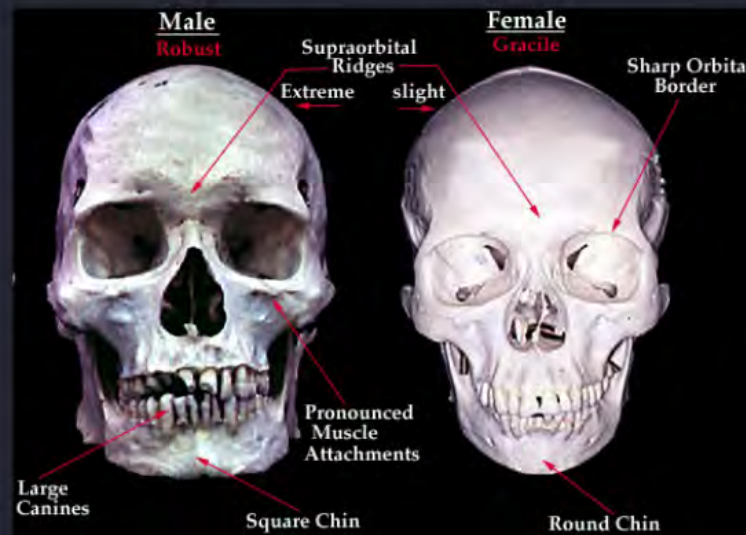
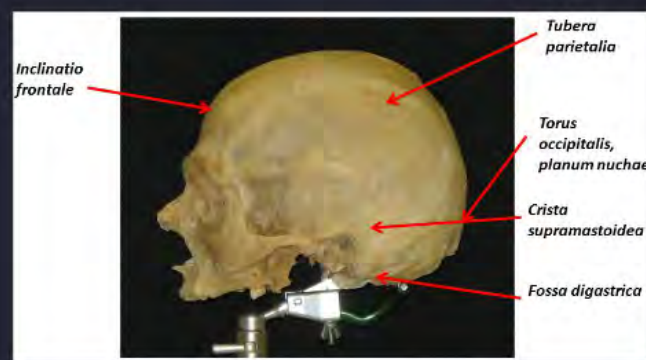
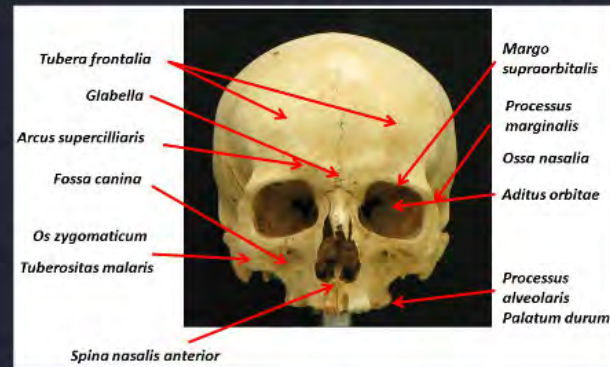
Pánev



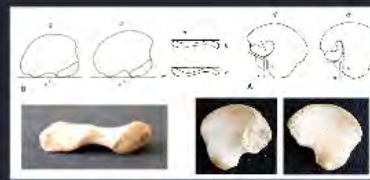
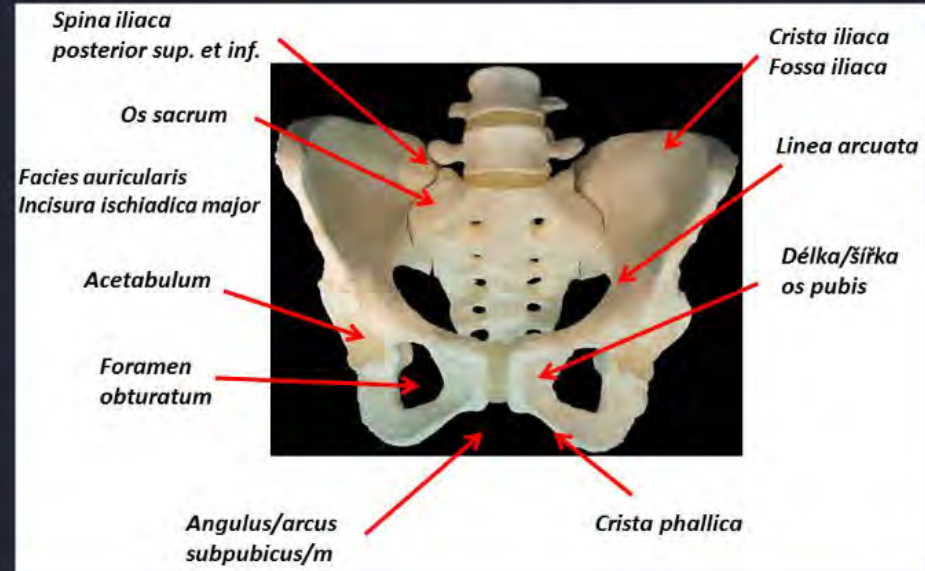
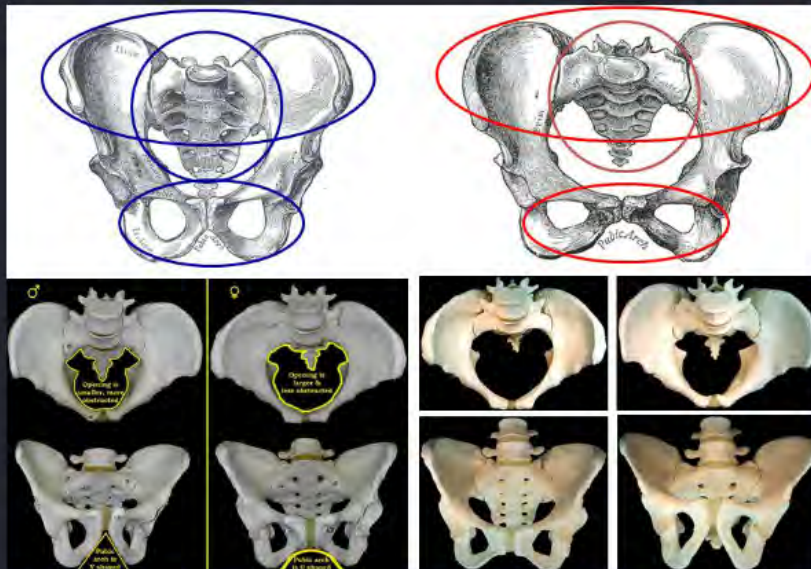
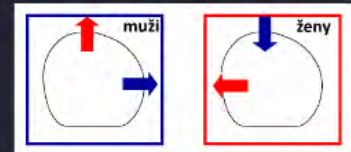
Postkrajinální skelet

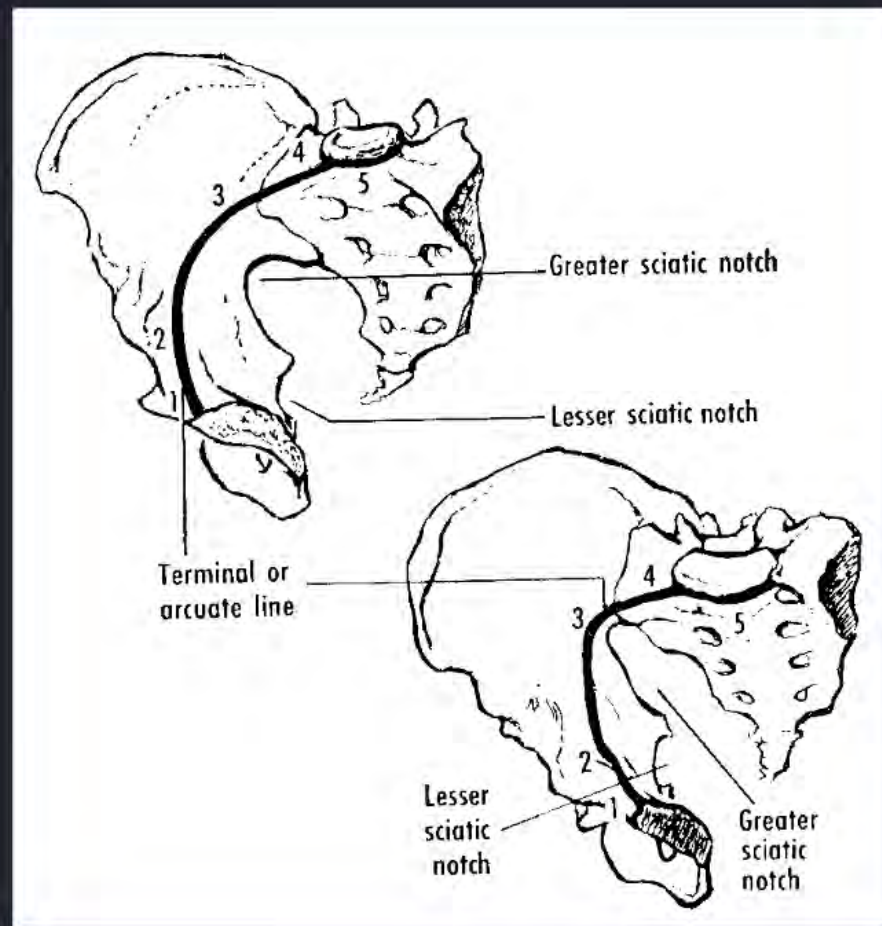


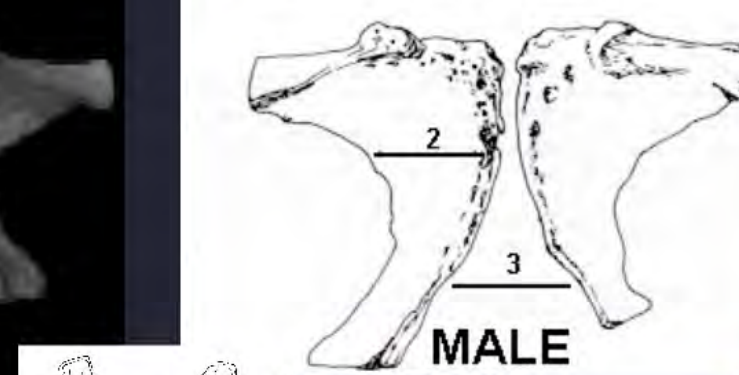
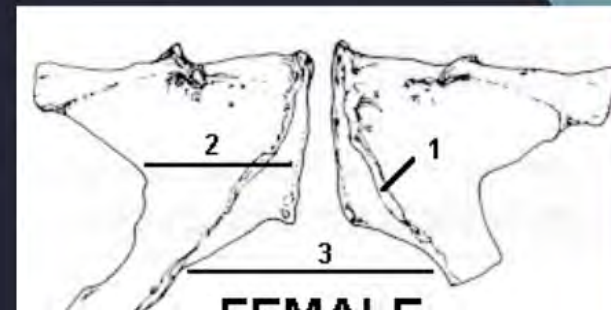
Lebka

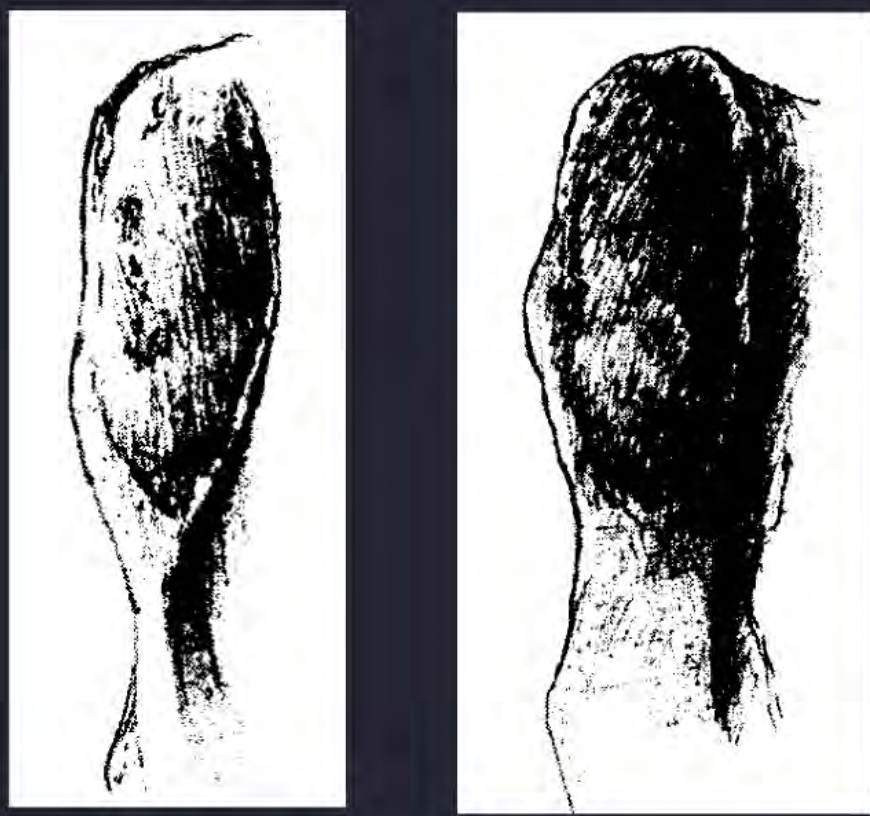


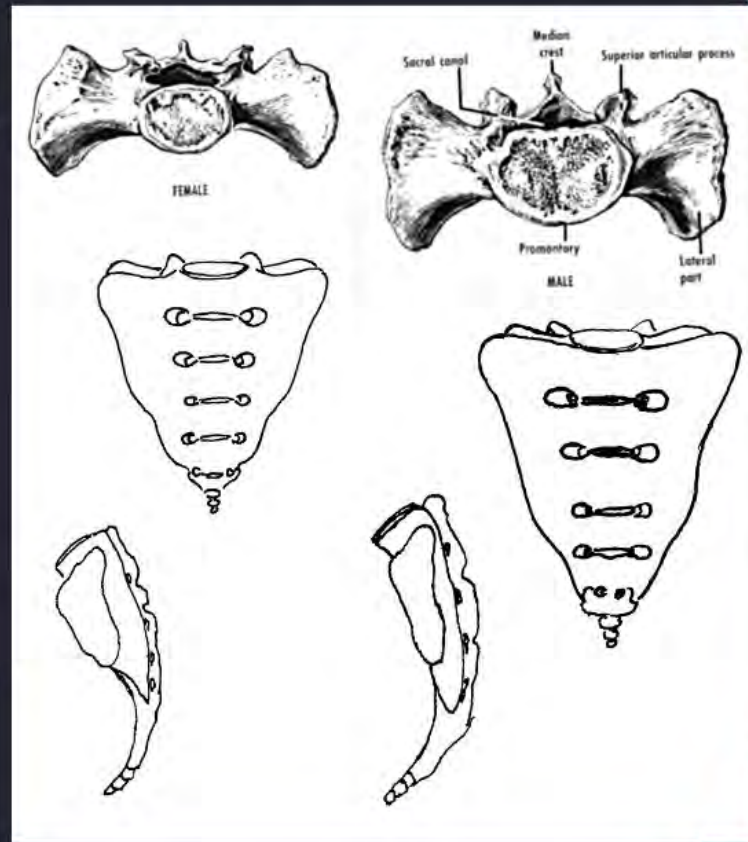
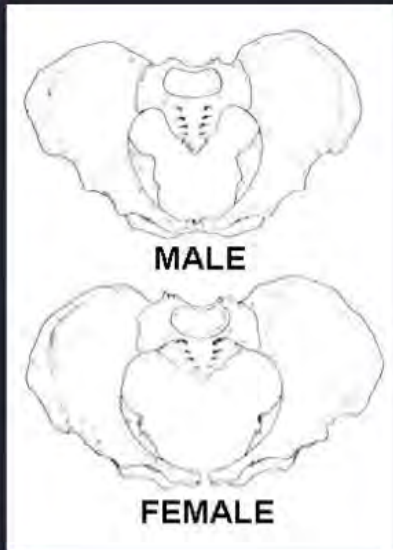
Pánev

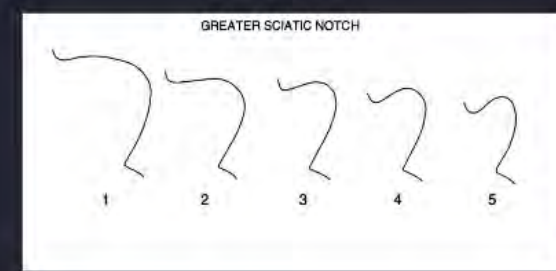
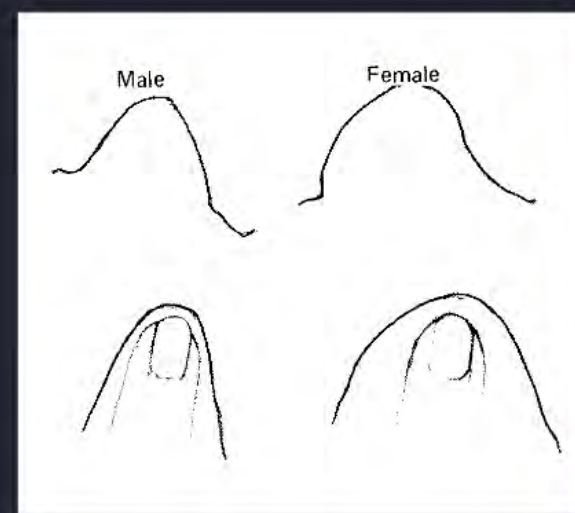
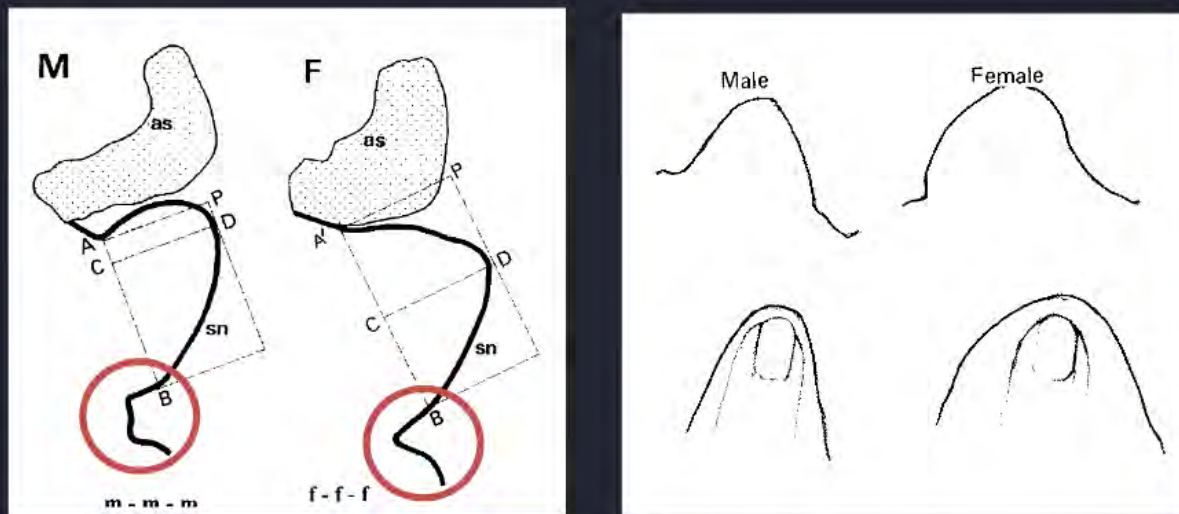


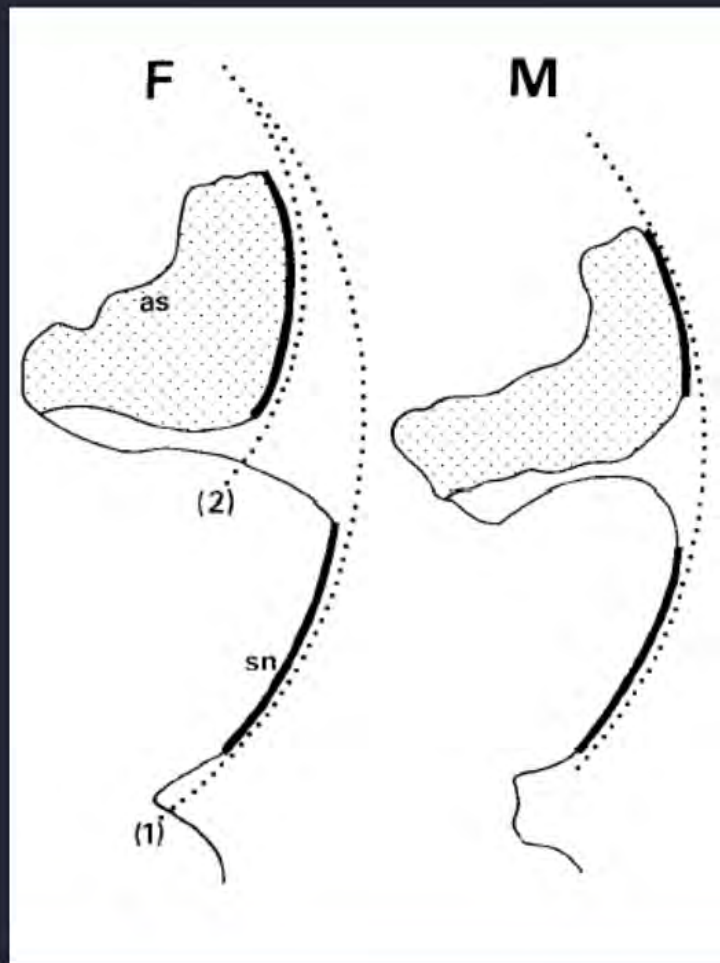


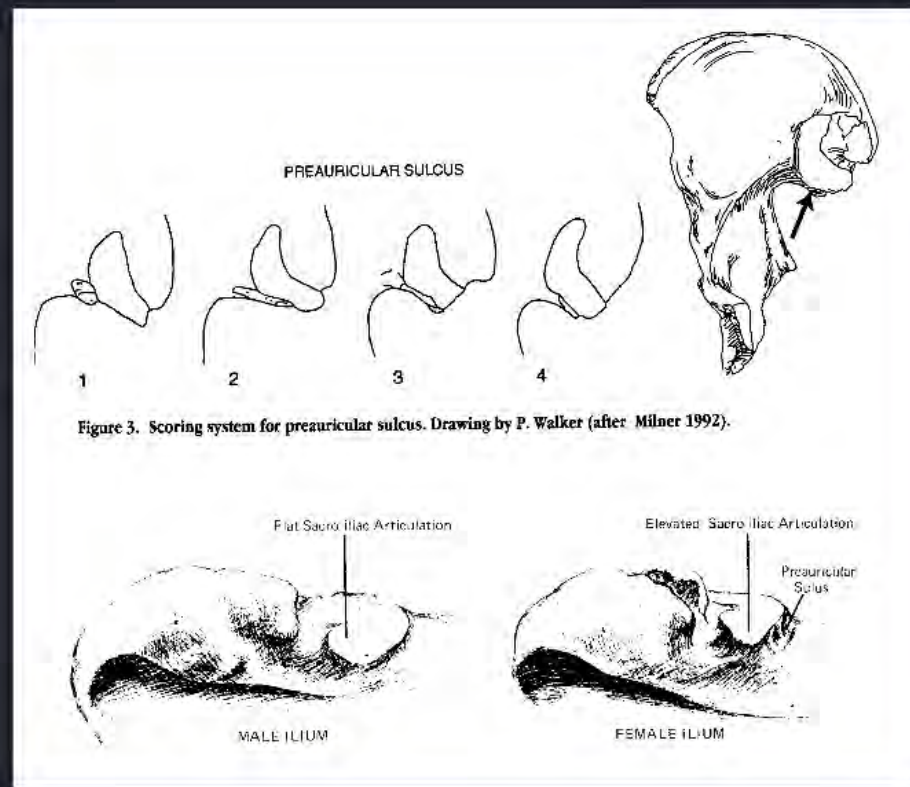










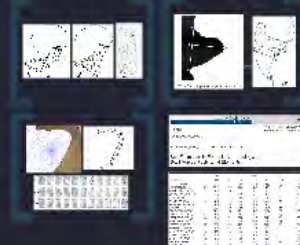


Osteometrické znaky

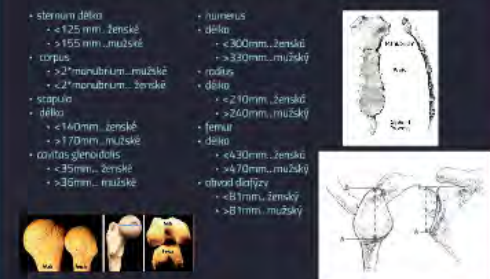
- znaky metrické, morfometrické, kvantitativní
- **kvantitativní rozdíly**
- určeny velikostními a tvarovými rozdíly mezi pohlavími
 - délka kostí – odraz velikosti těla
 - tloušťka kostí – odraz robusticity těla

maximální délka lebky
délka báze lebky
maximální šířka lebky
biorukoulová šířka
bizygomatická šířka
basion-prosthion
výška lebky
výška processus mastoideus
délka foramen magnum
horizontální obvod lebky
• výška horního obličeje
• šířka tvrdého patra
• šířka orbity
• výška orbity
• výška subspinole na přední části středního obličeje
• supraorbitalní tělo

Znaky na postkranialním skeletu



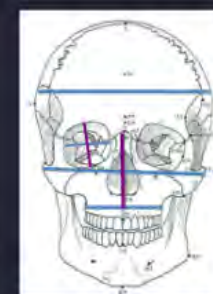
Postkranialní skelet



- maximální délka lebky
- délka báze lebky
- maximální šířka lebky
- biaurikulární šířka
- bizygomatická šířka
- basion-prosthion
- výška lebky
- výška processus mastoideus
- délka foramen magnum
- horizontální obvod lebky

- výška horního obličeje
- šířka tvrdého patra
- šířka orbity
- výška orbity
- výška subspinale na přední šířku středního obličeje
- supraorbitální tětiva

G-OP	4.228	0.000	104.415
N-OP	3.758	0.000	103.904
G-INI	4.785	5.263	105.026
B-BA	4.343	2.469	104.540
EU-EU	1.474	14.493	101.496
N-BA	4.687	22.222	104.917
PO-PO	4.465	-1.802	104.674
MAS-MAS	4.792	3.774	105.033
PO-MAS dx	7.959	-6.061	108.648
PO-MAS sin	9.635	9.955	110.663



ZYG-ZYG	5.829	2.247	106.190
P-BA	3.053	-3.030	103.149
FT-FT	3.241	9.524	103.349
D-D	3.034	14.516	103.129
FMO-FMO	3.939	4.762	104.101
D-FMOdx	3.841	-4.255	103.994
D-FMOSin	3.436	6.742	103.559
SOR-ZORdx	3.257	10.390	103.366
SOR-ZORsin	3.649	12.658	103.787
ZOR-OPCdx	0.957	13.740	100.966
ZOR-OPCsin	0.270	6.154	100.270
N-NS	6.199	0.000	106.609
RH-NS	8.677	-8.284	109.502
APT-APT	2.046	3.390	102.088
EKT-EKT	5.401	0.000	105.710

Znaky na postkraniálním skeletu

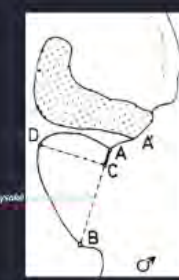
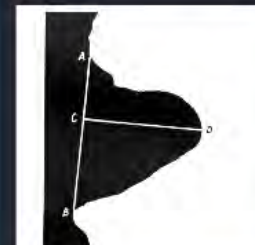
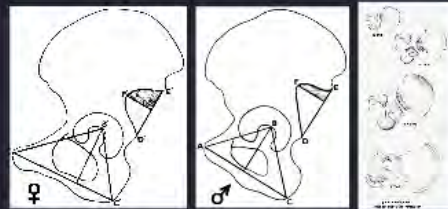
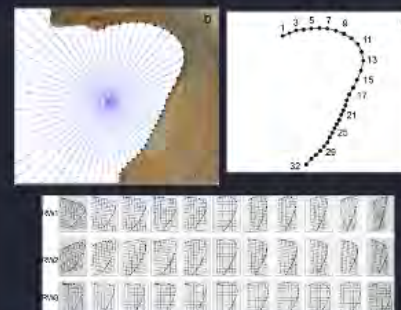


FIG. 3. Contourgram of the great sciatic notch.



JOURNAL OF FORENSIC SCIENCES
J. Forens. Sci., March 2011, Vol. 56, No. 3
doi:10.1111/j.1545-5300.2010.02128.x
© 2011 American Academy of Forensic Sciences

PAPER
ANTHROPOLOGY

M. Katherine Spradley,¹ Ph.D., and Richard L. Jantz,² Ph.D.

**Sex Estimation in Forensic Anthropology:
Skull Versus Postcranial Elements**

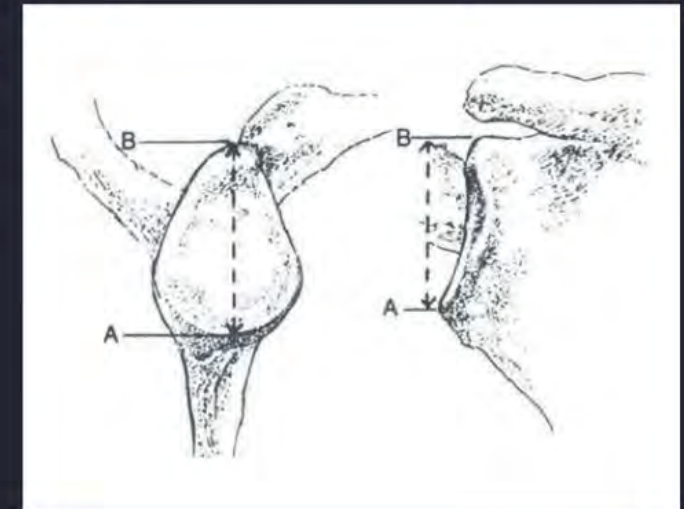
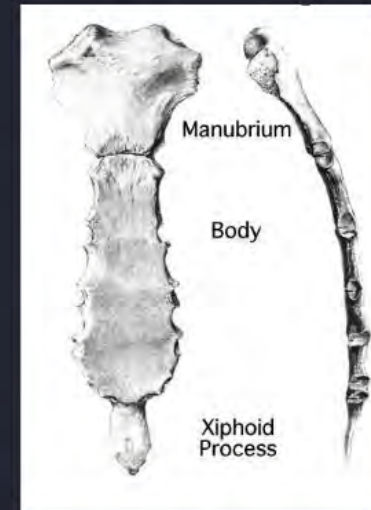
Measurement	n	Mean	SD	Mean	SD	Standard Deviation	Classific.
Tg. Post. Sacrum & Ilium (PSI)	112	95.09	2.35	268	76.21	4.25	94
Sacrum/Ilium (SI)	112	91.37	4.44	211	133.77	24.07	171
Post. Sacrum & Ilium (PSI)	112	71.18	4.8	209	87.21	7.98	81
Tg. Sacrum/Ilium (SI)	112	47.59	2.08	211	44.91	5.17	132
Post. Sacrum & Ilium (PSI)	112	33.18	8.8	209	36.68	8.01	91
Ratio: Post. Sacrum & Ilium (PSI)	290	226.22	11.24	201	22.51	2.32	141
Post. Sacrum & Ilium (PSI)	290	222.82	11.53	202	22.52	2.32	152
Sacrum/Ilium (SI)	327	95.44	5.05	216	106.15	9.73	173
SI/PSI	327	78.13	4.04	176	14.09	1.94	143
Posterior sacrum (PS)	227	42.07	2.44	204	46.81	3.22	93
Posterior sacrum (PS)	227	40.79	2.01	204	43.53	3.11	103
Posterior sacrum (PS)	227	39.95	1.93	204	42.39	2.55	142
Hip Joint Angle (HJA)	226	13.12	1.25	209	10.21	1.92	127
HJA	226	12.89	1.21	209	9.45	1.38	124
Tg. Post. Sacrum & Ilium (PSI)	226	91.89	17.21	209	56.15	17.95	134
Post. Sacrum & Ilium (PSI)	226	53.65	3.23	209	59.28	7.35	131
Post. Sacrum & Ilium (PSI)	226	52.82	3.09	209	58.20	7.31	130
Post. Sacrum & Ilium (PSI)	226	47.01	25.63	209	20.71	33.33	495
Post. Sacrum & Ilium (PSI)	226	46.88	25.64	209	20.59	33.37	496
Post. Sacrum & Ilium (PSI)	226	36.25	2.65	209	20.59	2.75	37
Tg. Ilium/Ilium (II)	161	95.01	1.03	92	74.1	3.32	93
Ilium/Ilium (II)	161	92.66	1.03	92	72.4	3.32	93
Ilium/Ilium (II)	161	77.34	2.03	92	26.26	2.23	95
Ilium/Ilium (II)	161	77.34	2.03	92	26.26	2.23	95
Ilium/Ilium (II)	161	74.45	1.07	92	24.45	4.75	97
Posterior sacrum (PS)	209	220.51	3.11	211	122.99	4.22	125
Posterior sacrum (PS)	209	204.58	3.04	211	122.94	4.22	125
Posterior sacrum (PS)	209	213.77	3.13	186	96.35	4.85	33
Posterior sacrum (PS)	209	213.74	4.01	186	106.12	4.19	123

Postkraňální skelet

- sternum délka
 - <125 mm...ženské
 - >155 mm...mužské
- corpus
 - >2*manubrium...mužské
 - <2*manubrium... ženské
- scapula
- délka
 - <140mm...ženské
 - >170mm...mužské
- cavitas glenoidalis
 - <35mm... ženské
 - >36mm... mužské



- humerus
- délka
 - <300mm...ženská
 - >330mm...mužský
- radius
- délka
 - <210mm...ženská
 - >240mm...mužský
- femur
- délka
 - <430mm...ženská
 - >470mm...mužský
- obvod diafýzy
 - <81mm...ženský
 - >81mm...mužský



Morfoskopické metody

Acsádi, Nemeskéri 1970



Ferembach et al. 1980

- 11 morfologických znaků
- 6 znaků jen na celé páni
- 5 stupňů rozvoje [-2 dž +2]
- +
- váha znaku 1 až 3
- 3: sulcus preauricularis, incisura ischiadicæ major
- 2: angulus pubis, arcus composé, foramen obturatum, corpus ossis ischiæ
- 1: crista ilioica, fossa ilioica, pelvis major, pelvis minor

$$IS = \{score * weight\} / weight$$

$IS = \text{index sexualizace}$

Novotný et al (1993)

- 9 ZNAKŮ
- glabella
 - protuberentia occipitalis ext
 - processus zygomaticus
 - crista supramastoides
 - os zygomaticum
 - angulus mandibulae
 - trigonum mentale
 - inclinatio frontalis
 - arcus superciliaris
- 2 klasifikační rovnice - 2 klasifikační skóre
- váha znaku je určena hodnotou koeficientu



Brůžek (2002)

- 5 morfologických znaků: preaurikulární oblast, incisura ischiadicæ major, arcus composé, margo inferior ossis coxae, poměr délky os pubis a os ischiæ
- 3 stupně rozvoje znaku - femininní, indiferentní a maskulin typ



Phenice (1969)

- 3 morfologické znaky
- ventrální oblouk
 - subpubický prostor
 - hranice ramus inferior ossis pubis
- 3 stupně rozvoje
- M-mužský typ (absence)
 - I-indiferentní typ
 - F-ženský typ (prezence)
- všechny znaky mají stejnou váhu
- spolehlivost 96,6% (100:95)



Acsádi, Nemeskéri 1970

- 5 stupňů – (-2 - hyperfemininní až 2 - hypermaskulinní)
 - negativní – žena
 - pozitivní – muž
- **váha znaku 0-3 (určeno empiricky)**

3: glabella, processus mastoideus, occiput, processus zygomaticus

2: tubera frontalia/parietalia, os zygomaticum, crista supramastoidea, protuberantia occipitalis externa

1: margo supraorbitalis, aditus orbitae, inclination frontale

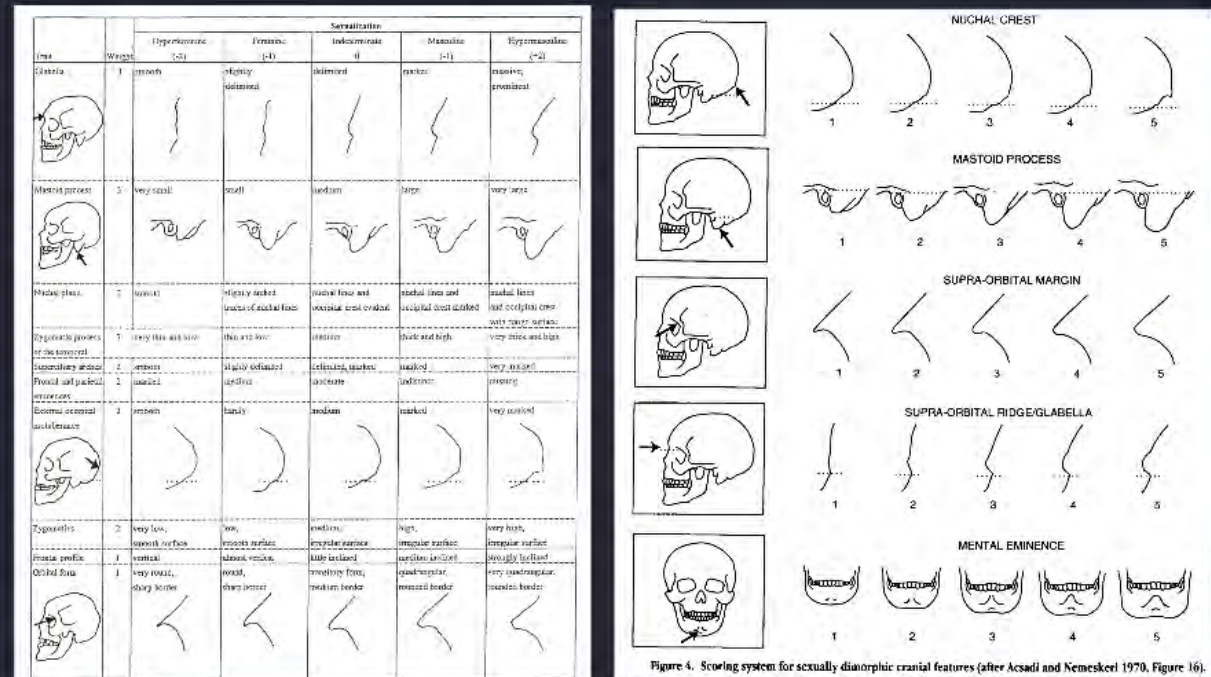


Figure 4. Scoring system for sexually dimorphic cranial features (after Acsádi and Nemeskéri 1970, Figure 16).

$$IS = (\text{score} * \text{weight}) / \text{weight}$$

IS = index sexualizace

IS – kombinuje sílu znaků
pozitivní hodnota IS
negativní hodnota IS
0 – indiferentní rozvoj znaků – nelze jednoznačně rozhodnout pohlaví

Novotný et al (1993)

- **9 ZNAKŮ**

- glabella
- protuberentia occipitalis ext
- processus zygomaticus
- crista supramastoidea
- os zygomaticum
- angulus mandibulae
- trigonum mentale
- inclinatio frontalis
- arcus superciliaris

- 2 klasifikační rovnice - 2 klasifikační skóre
- váha znaku je určena hodnotou koeficientu

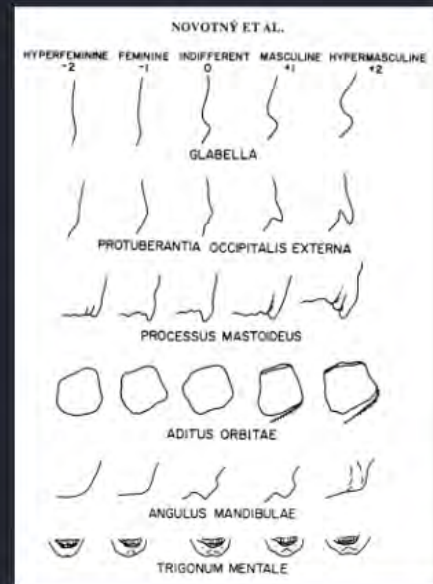
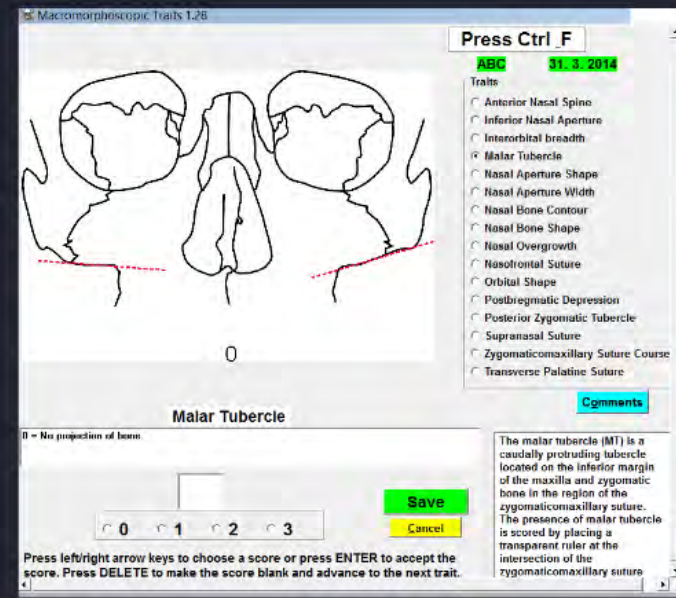
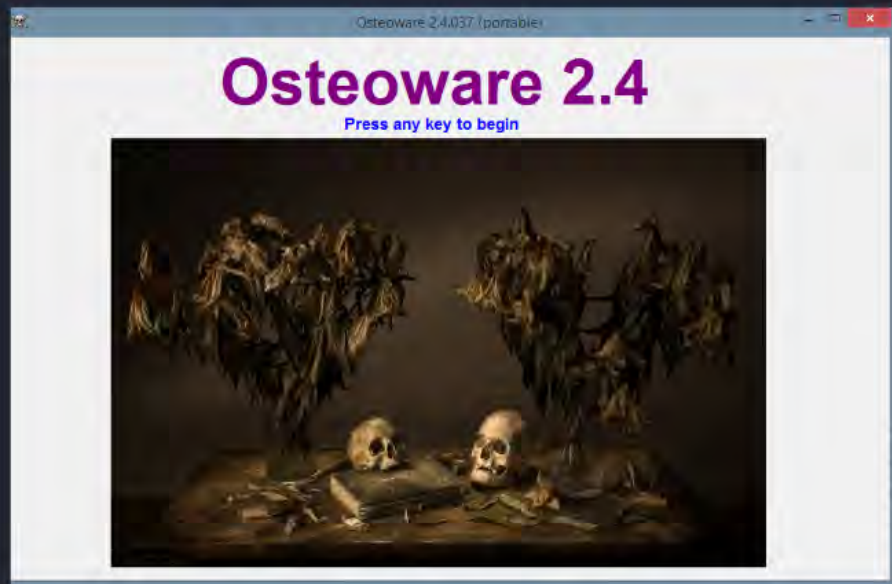


TABLE 10. Discriminant Function Coefficients and Accuracy of Sex Determination From the Skull

Trait	X_1 (Females)	X_2 (Males)
Glabella	-2.32308	0.24297
Arcus superciliaris	-0.66695	1.01545
Crista supramastoidea	-1.78610	0.94836
Squama occipitalis	-0.67799	0.21830
Pons zygomaticus	-0.34589	0.26312
Os zygomaticum	-2.03353	1.08861
Inclinatio ossis frontalis	1.31358	-0.58290
Mandibula	1.34310	-0.21927
Angulus mandibulae	-0.04189	0.92854
Constant	-4.59787	-2.13217
Percent Accuracy	N	
Males	97.2	35/36
Females	100.0	35/35



Age and Sex Data Entry 1:77

ABC 31.3.2014

Press Ctrl F

Postcranial Epiphyses | Cranial Sutures | Morphology | Summary

Pelvic Morphology

Ventral Arc	Subpub Concavity	Isch-Pub ramus ridge	Aur Surf Elev	Gr Sciatic Notch Width	Sacral Curvature	Preauricular sulcus
<input type="radio"/> M	<input type="radio"/> M	<input type="radio"/> M	<input type="radio"/> M	<input type="radio"/> Def M	<input type="radio"/> M	<input type="radio"/> Absent
<input type="radio"/> ?	<input type="radio"/> ?	<input type="radio"/> F	<input type="radio"/> ?	<input type="radio"/> Prob M	<input type="radio"/> ?	<input type="radio"/> Wide and deep (>.5 cm, lobular)
<input checked="" type="radio"/> F	<input type="radio"/> F	<input type="radio"/> F	<input type="radio"/> F	<input type="radio"/> ?	<input type="radio"/> ?	<input type="radio"/> Wide and shallow
				<input type="radio"/> Prob F	<input type="radio"/> F	<input type="radio"/> Narrow and shallow (well-defined)
				<input type="radio"/> Def F		<input type="radio"/> Narrow and smooth walled (posterior)

Cranial Morphology (score 1-5)

Nuchal Crest	Mastoid Process	Supraorb Sharpness	Supraorb Ridge size	Glabellar Prom	Mental Eminence
1	1	1	4	5	5

Age and Sex Data Entry 1:77

ABC 31.3.2014

Press Ctrl F

PPA-01

Postcranial Epiphyses | Cranial Sutures | Morphology | Summary

Pelvic Morphology

Ventral Arc	Subpub Concavity	Isch-Pub ramus ridge	Aur Surf Elev	Gr Sciatic Notch Width	Sacral Curvature	Preauricular sulcus
<input type="radio"/> M	<input type="radio"/> M	<input type="radio"/> M	<input type="radio"/> M	<input type="radio"/> Def M	<input type="radio"/> M	<input type="radio"/> Absent
<input type="radio"/> ?	<input type="radio"/> ?	<input type="radio"/> F	<input type="radio"/> ?	<input type="radio"/> Prob M	<input type="radio"/> ?	<input type="radio"/> Wide and deep (>.5 cm, lobular)
<input type="radio"/> F	<input type="radio"/> F	<input type="radio"/> F	<input type="radio"/> F	<input type="radio"/> ?	<input type="radio"/> ?	<input type="radio"/> Wide and shallow
				<input type="radio"/> Prob F	<input type="radio"/> F	<input type="radio"/> Narrow and shallow (well-defined)
				<input type="radio"/> Def F		<input type="radio"/> Narrow and smooth walled (posterior)

Cranial Morphology (score 1-5)

Nuchal Crest	Mastoid Process	Supraorb Sharpness	Supraorb Ridge size	Glabellar Prom	Mental Eminence

Ferembach et al. 1980

- 11 morfologických znaků
- 4 znaky jen na celé pánvi
- 5 stupně rozvoje (-2 až +2)
-
- váha znaku 1 až 3
- 3: sulcus preauricularis, incisura ischiadica major
- 2: angulus pubis, arc composé, foramen obturatum, corpus ossis ischii
- 1: crista iliaca, fossa iliaca, pelvis major, pelvis minor

Znak	Váha	Hyperfem. (-2)	Feminin. (1)	Neutrální (0)	Maskulinní (+1)	Hypermaskuliní (+2)
Sulcus preauricularis	3	Hluboký, dobie ohrazenec	Málo hluboký, ohrazenec	Sřední rozvoj	Pouze mírně rozvinut	chybá
Incisura ischiadica major	3	Velmi široká, tvar U	široká, tvar U	Přechodný typ	Tvar V	Uzavřená, velmi zřetelný tvar V
Angulus pubis *	2	Velmi tupý úhel	Tupý až téměř pravý úhel	Pravý úhel	ostrý úhel	Velmi ostrý úhel až tvar písmene A
Arc composé	2		dvojitý	Přechodný tvar	jednoduchý	
Pánvni kost jako celek *	2	Nízká, široká s otevřenými kyčelninami lopatami a slabým reliefem	Slabě vytvořené ženské znaky	Přechodný tvar	Slabě vytvořené mužské znaky	Vysoká a úzká s zřetelným svalovým reliefem
Foramen obturatum	2	Ostře hrany, trojúhelníkovitý tvar	trojúhelníkovitý tvar	Nevyhraněná forma	oválný	Oválný a zaoblené hrany
Tělo sedací kosti	2	Úzké s nenápadným tuber ischiadicum	úzké	střední	široké	Velmi široké s nápadným tuber ischiadicum
Crista iliaca	1	Velmi ploché esovité zakřivení	ploché esovité zakřivení	střední	Silné esovité zakřivení	Velmi silné esovité zakřivení, výrazný tvar S
Fossa iliaca	1	Velmi mělká a široká	mělká a široká	Sředně mělká a středně široká	Hluboká a úzká	Velmi hluboká a velmi úzká
Pelvis major*	1	Velmi široká	široká	Střední	úzká	Velmi úzká
Pelvis minor*	1	Velmi široká, oválná	široká, oválná	Středně široká	Úzká a srdcovitého tvaru	Velmi úzká a srdcovitého tvaru

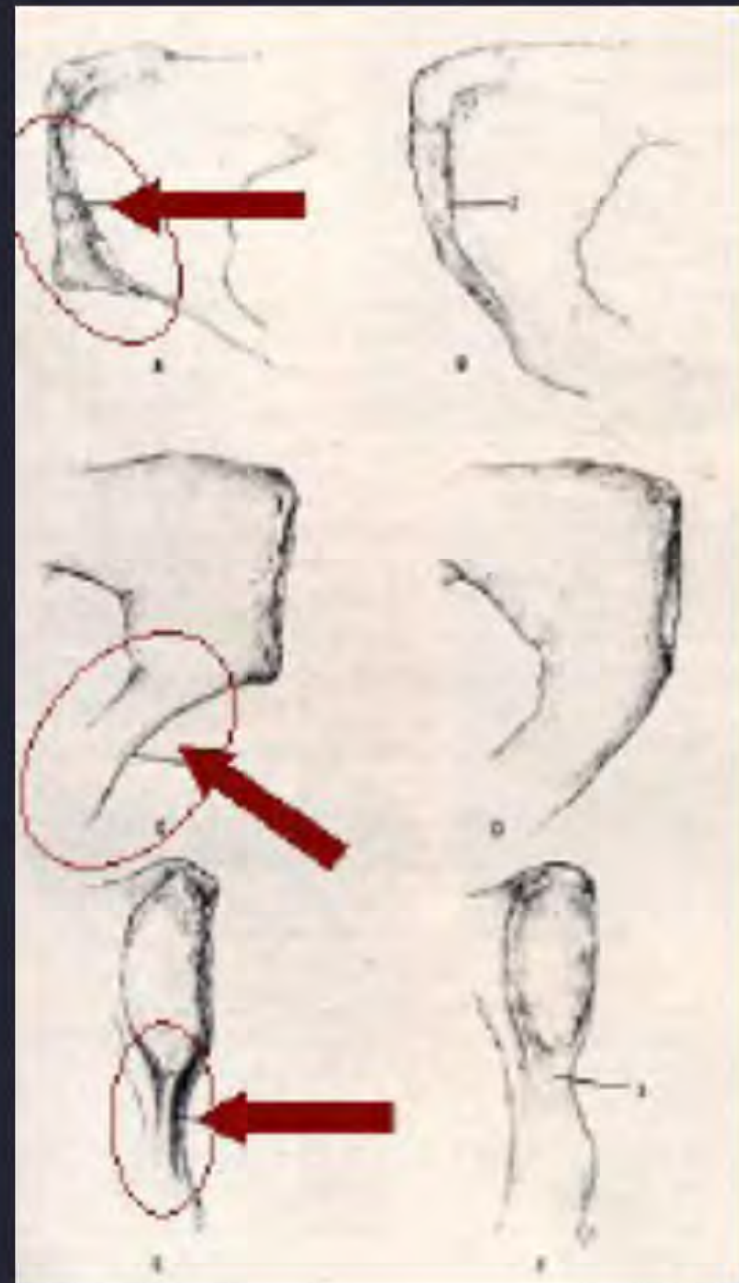
$$IS = (score * weight) / weight$$

IS = index sexualizace

IS – kombinuje sílu znaků
 pozitivní hodnota IS
 negativní hodnota IS
 0 – indiferentní rozvoj znaků – nelze jednoznačně rozhodnout pohlaví

Phenice (1969)

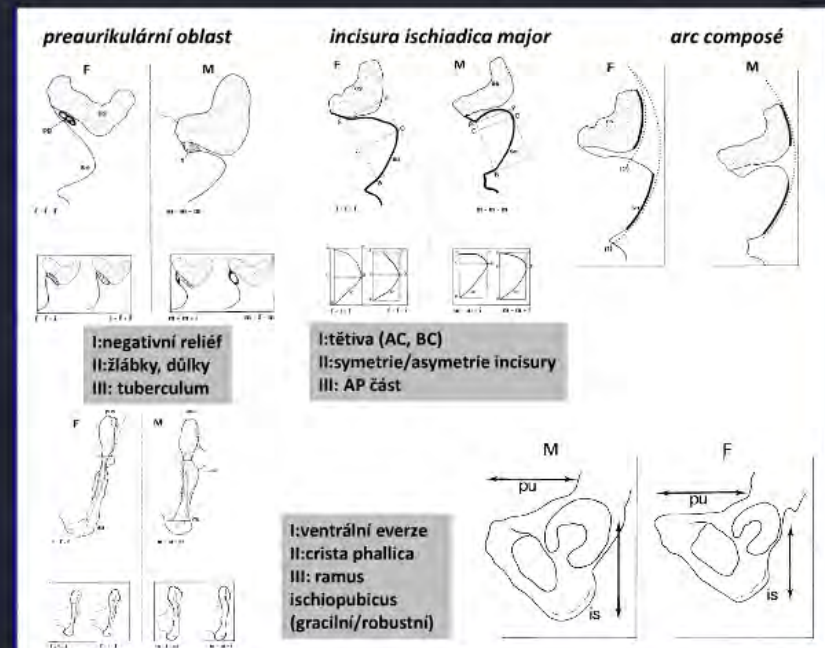
- **3 morfologické znaky**
 - ventrální oblouk
 - subpubický prostor
 - hrana ramus inferior ossis pubis
- **3 stupně rozvoje**
 - M-mužský typ (absence)
 - I-indiferentní typ
 - F-ženský typ (prezence)
- všechny znaky mají stejnou váhu
- spolehlivost 96,6% (100:95)



Brůžek (2002)

- 5 morfologických znaků: preaurikulární oblast, incisura ischiadica major, arc composé, margo inferior ossis coxae, poměr délky os pubis a os ischii
- 3 stupně rozvoje znaku – femininní, indiferentní a maskulinní typ

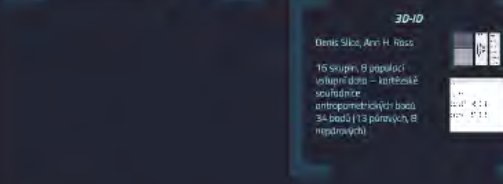
Characters	Scoring of sexualization		Sexual form evaluation	Sex diagnosis
	One condition	One response		
Preauricular surface	F: first condition: development of negative relief on preauricular surface.	f: deep depression well-delimited (pite)	$\Sigma f > \Sigma m \Rightarrow F$	Female: $\Sigma F > \Sigma M$
	i: intermediate form	ia: relief smooth or very slightly negative relief		
	Second condition: aspect of growing or putting	f: pits or grooves with closed circumference	$\Sigma f = \Sigma m \Rightarrow 0$	
	i: intermediate form	ia: pits or grooves with open circumference		
	Third condition: development of positive relief on preauricular surface	f: lack of tubercles	$\Sigma i < \Sigma m > \Sigma f \Rightarrow M$	
	i: intermediate form	ia: tubercles present or clear protuberance		
Great sciatic notch	First condition: proportion of length of sciatic notch chord	f: posterior chord segment (AC) longer than or equal to anterior chord (CB)	$\Sigma i < \Sigma f \geq \Sigma m \Rightarrow F$	
	i: intermediate form	ia: posterior chord (AC) shorter than anterior chord (CB)		
	Second condition: form of costotar notch chords	f: posterior chord closer to depth in basal portion of sciatic notch	$\Sigma f = \Sigma m \Rightarrow 0$	Male: $\Sigma F < \Sigma M$
	i: intermediate form	ia: asymmetry relative to depth of sciatic notch		
	Third condition: contour of posterior chord does not cross perpendicular line relative to line from point A to sciatic notch breadth	f: outline (contour) of posterior chord doesn't cross perpendicular line	$\Sigma i < \Sigma m > \Sigma f \Rightarrow M$	
Composite arch	One condition: relation between outline of sciatic notch and outline of auricular surface	Double curve Intermediate form Single curve	F 0 M	
Inferior pelvis	First condition: characterization of margo inferior ossis coxae	f: external eversion i: intermediate form	$\Sigma i < \Sigma f \geq \Sigma m \Rightarrow F$	
	Second condition: absence or presence of the phallic ridge	ia: direct course of medial part f: presence of the phallic ridge i: intermediate form	$\Sigma f = \Sigma m \Rightarrow 0$	Indeterminate: $\Sigma F = \Sigma M$
	Third condition: ischio-pubic ramus aspect	ia: clear presence of the phallic ridge f: gracile aspect i: intermediate form m: robust aspect	$\Sigma i < \Sigma m > \Sigma f \Rightarrow M$	
Ischiopubic proportion	One condition: relation between pubis and ischium margins	Pubis longer than ischium Intermediate form Ischium longer than pubis	F 0 M	



Osteometrické metody

- diskriminační rovnice
- diskriminační skóre
 - kladné - muž
 - záporné - žena

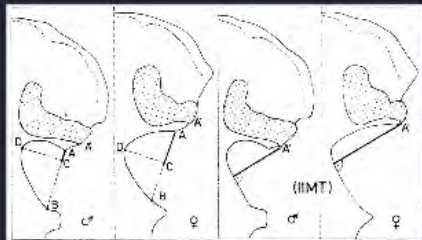
- Giles and Elliot 1965 – Američané – 82,4-86%
- Hanihara 1959 - Japonci
- Kojanoja 1966 – Finové – 79,5%
- Howells 1966 - Američané
- Henke 1973



COLIPR

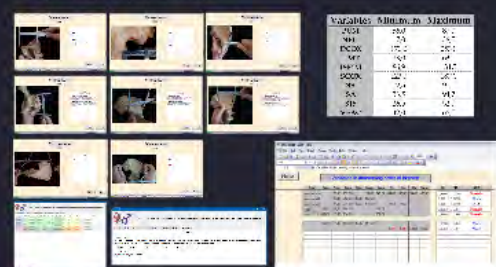
Novotný 1985

- morfometrie ischopubického a sakroiliakálního segmentu



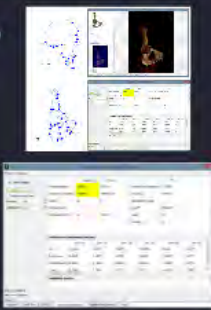
DSP (BRŮŽEK, MURAIL 2005)

- 10 rozdílných (kognitivně použití nejdříve 8)
- minimálně 4 tomografy
- aposetorní pravidelnost (>95%)



HIP

- skeny panevních kostí v dvou standardních pozicích
- 2D souřadnice definováných bodů
- diskriminační analýza
- cross-validation klasifikačního modelu



FORDISC 2.0, 3.0



- diskriminační rovnice
- diskriminační skóre
 - kladné - muž
 - záporné - žena

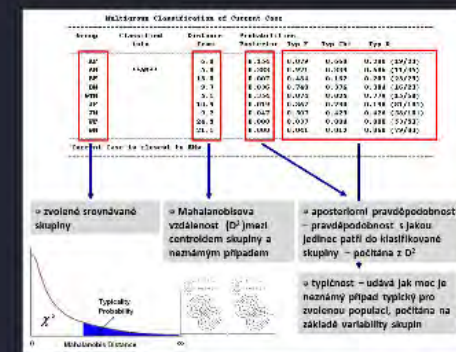
- Giles and Elliot 1965 – Američané – 82,4-86%
- Hanihara 1959 - Japonci
- Kajanoja 1966 – Finové – 79,5%
- Howells 1966 - Američané
- Henke 1973

FORDISC 2.0, 3.0

Stephen Ousley, Richard Jantz

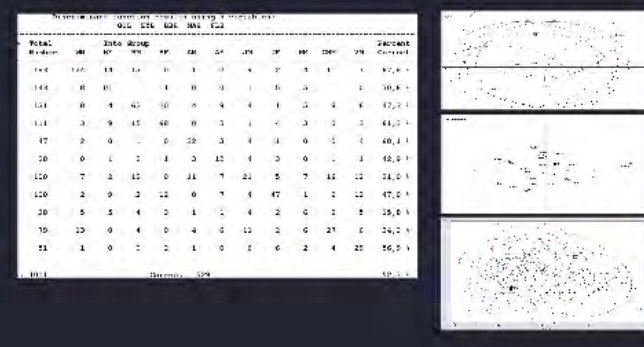
- **Forensic Data Bank Groups**

- 12 skupin, 8 populací (verze 2 pouze 11 skupin)
- American Blacks (F+M): 196 mužů, 130 žen (Terry Collection)
- American Indians (F+M): 35 mužů, 29 žen
- American Whites (F+M): 474 mužů, 304 žen
- Chinese Males: 79 mužů
- Guatemalan Males: 83 mužů
- Hispanics: 88 mužů
- Japanese: 100 mužů, 100 žen
- Vietnamese Males: 51 mužů



- **Howellsova databáze – 28 populací**

- odděleny od sebe mužské a ženské lebky, pozor u některých souborů jsou k dispozici pouze mužské lebky!
- platí pravidlo, že omezujeme analýzu pouze na skupiny relevantní k pohledu řešení forezního případu!



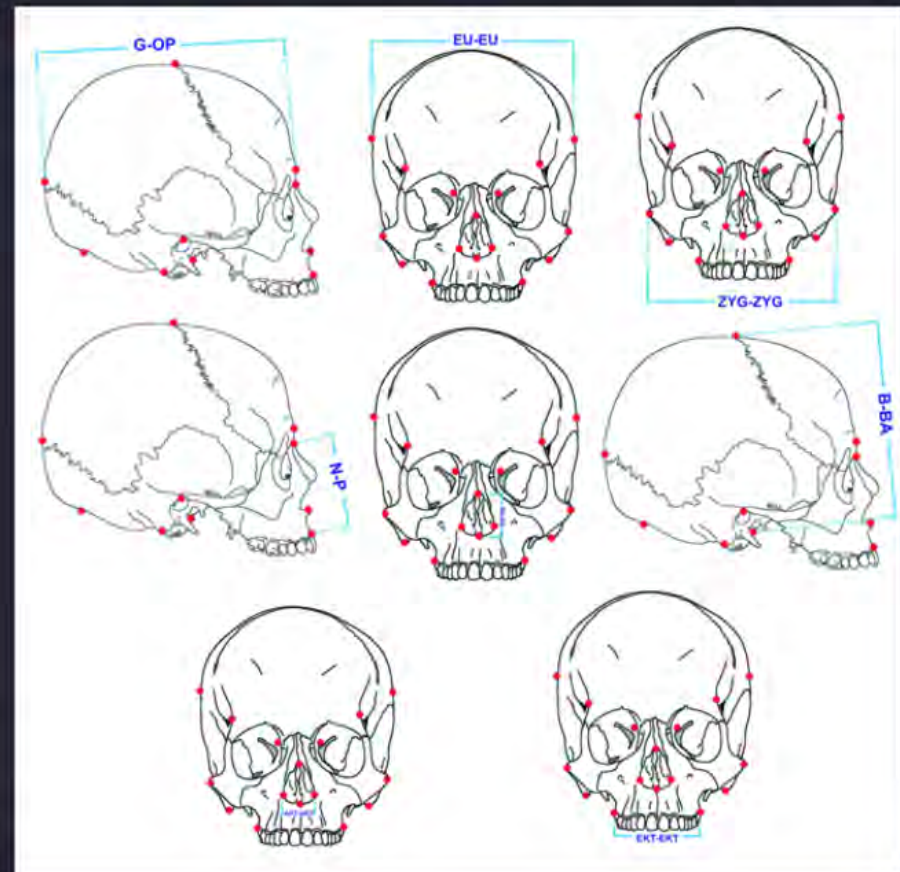
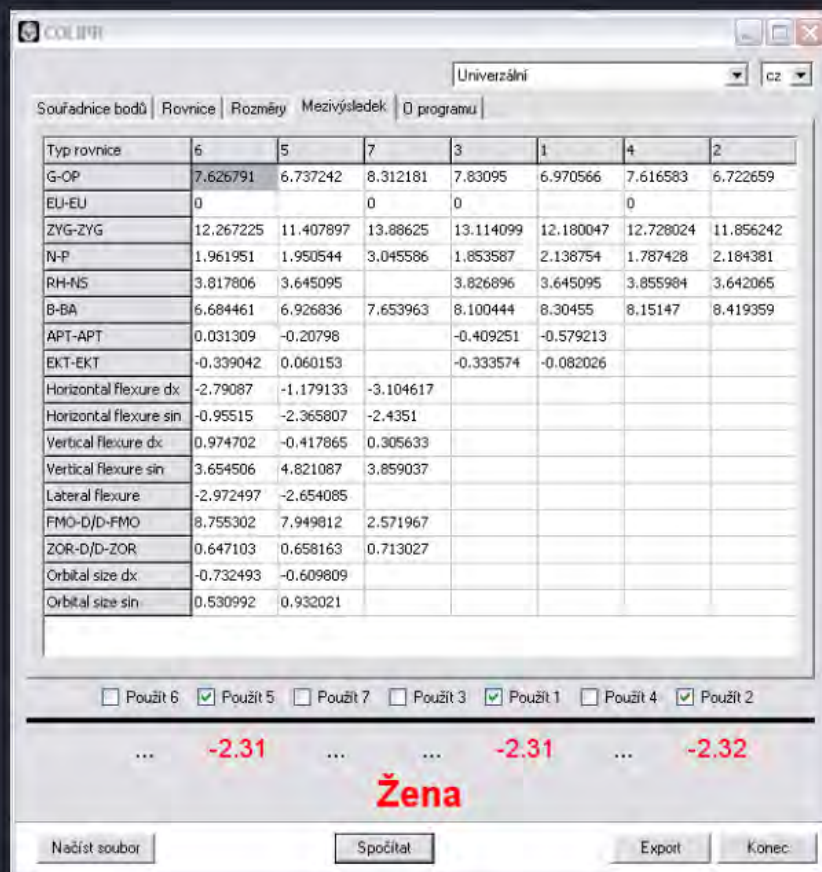
3D-ID

Denis Slice, Ann H. Ross

16 skupin, 8 populací
vstupní data – kartézské
souřadnice
antropometrických bodů
34 bodů (13 párových, 8
nepárových)

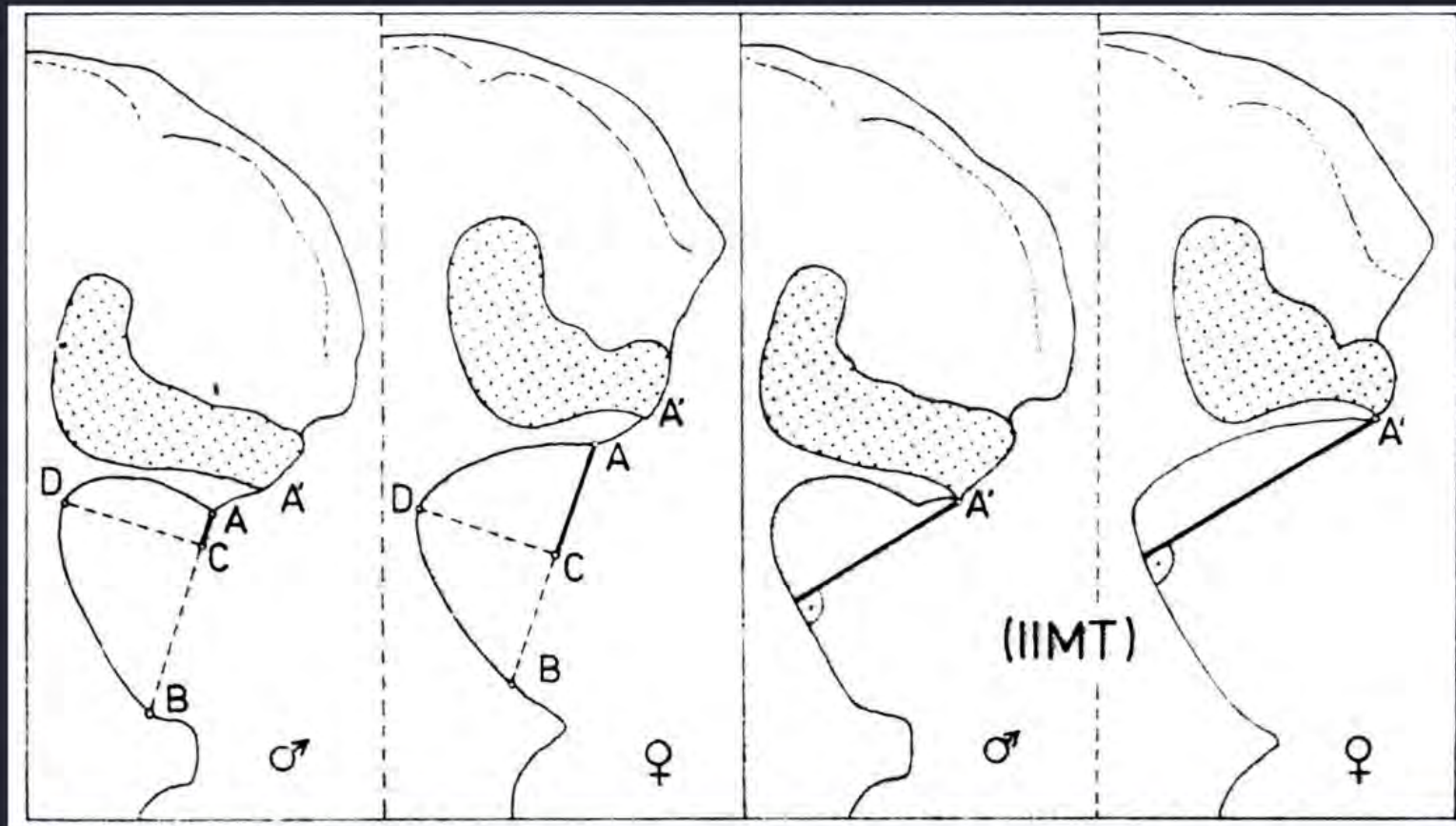


COLIPR



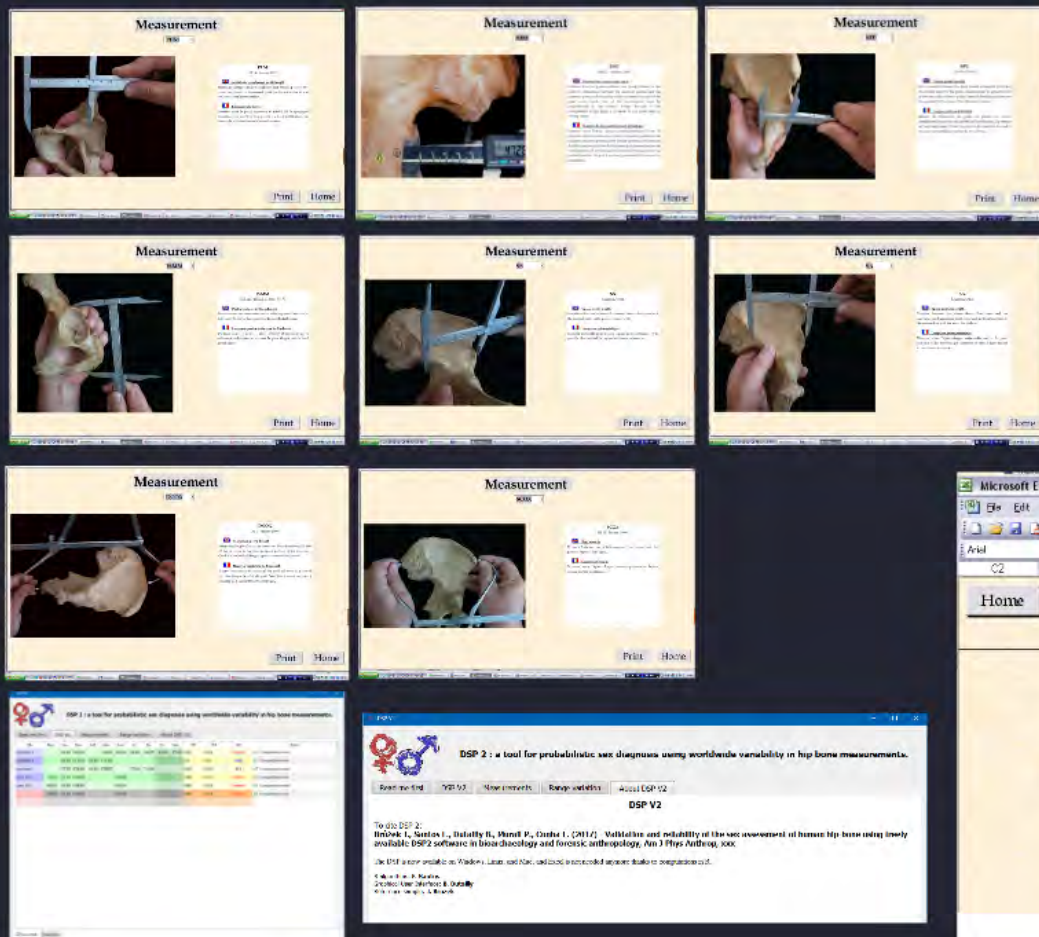
Novotný 1985

- morfometrie ischiopubického a sakroiliakálního segmentu



DSP (BRŮŽEK, MURAIL 2005)

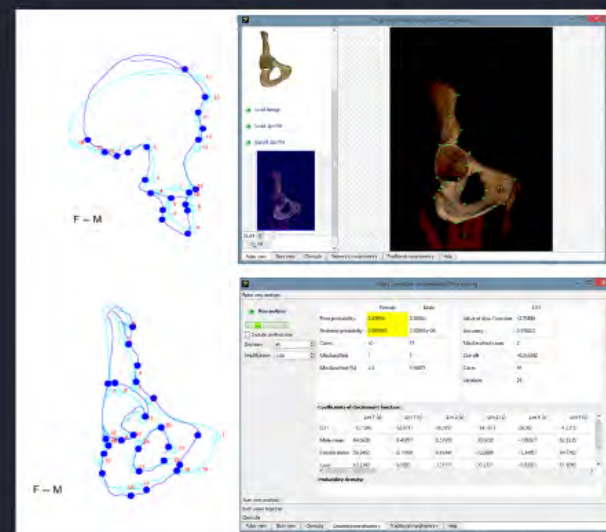
- 10 rozměrů (doporučeno použití nejdříve 8)
 - minimálně 4 rozměry
 - aposteriorní pravděpodobnost ($>95\%$)



Variables	Minimum	Maximum
PUM	56,0	87,0
SPU	17,0	38,5
DCOX	170,0	253,0
IIMT	23,0	63,0
ISMM	86,9	131,5
SCOX	123,0	187,0
SS	52,5	91,0
SA	53,5	94,7
SIS	26,5	52,0
VEAC	42,0	66,5

HIP

- skeny pánevních kostí v dvou standardních pozicích
- 2D souřadnice definovaných bodů
- diskriminační analýza
- cross-validation klasifikačního modelu



High-sensitivity Innominate Processing

Stepwise linear discriminant analysis

Run analysis

Use all distances

Avoid selected distances

Both views together

Pubis view

Ilium view

Clavicle

Cross-validation

Leave-one-out

Distances on pubis view

Lnd. 1	Lnd. 1	Add to blocked list
Lnd. 2	Lnd. 2	2-11
Lnd. 3	Lnd. 3	3-4
Lnd. 4	Lnd. 4	5-8
		7-8

Remove from blocked

Distances on ilium view

Distances on clavicle

Females

Males

LD1

Prior probability	0.433383	0.566667	Value of disc. function	-1.23724
Posterior probability	0.940108	0.0518924	Accuracy	0.986667
Cases	39	51	Misclassified cases	3
Misclassified	2	1	Cut-off	-0.117694
Misclassified [%]	5.12821	1.96078	Cases	90

Coefficients of discriminant function:

1 - 14 (2)	8 - 14 (2)	8 - 17 (2)	
LD 1	-0.109567	0.103945	0.173195

Linear discriminant analysis

Landmark distance visualisation

Pubis view Ilium view Clavicle Geometric morphometry Traditional morphometry Help

High-sensitivity Innominate Processing

Pubis view analysis

Run analysis

Run analysis

Include centroid size

Grid size: 45

Amplification: 1.00

Females

Males

LD1

Prior probability	0.43056	0.56044	Value of disc. function	-2.75886
Posterior probability	0.999992	7.00001e-06	Accuracy	0.97022
Cases	40	51	Misclassified cases	2
Misclassified	1	1	Cut-off	-0.244482
Misclassified [%]	2.5	1.96078	Cases	91
Variables	26		Variables	26

Coefficients of discriminant function:

Lm 1 (x)	Lm 1 (y)	Lm 2 (x)	Lm 2 (y)	Lm 4 (x)	Lm 4 (y)	
LD 1	-12.1246	-52.8717	16.2957	-14.1973	39.202	-4.2315
Male mean	64.6638	-9.46577	6.51981	30.6658	-7.66337	62.3235
Female mean	59.3492	-8.11898	8.41441	32.0689	-5.34097	64.7702
Case	63.3343	-9.5085	3.51711	30.3731	-6.83325	61.0993

Probability density:

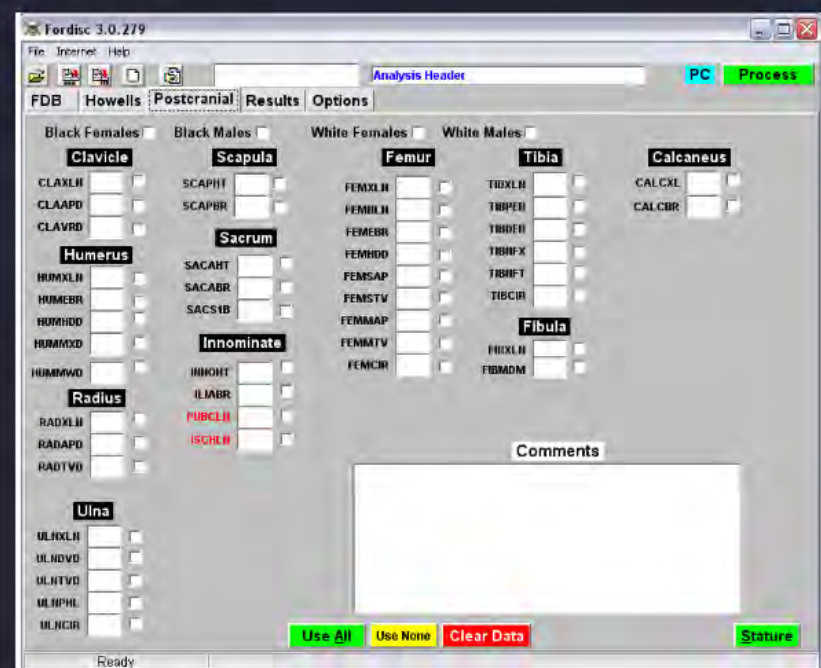
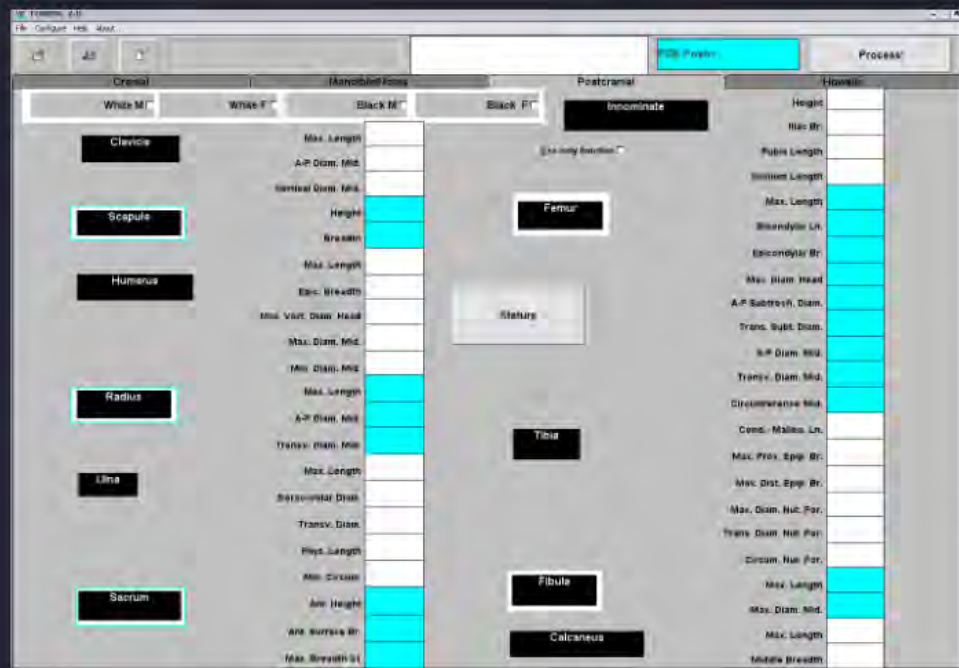
Ilium view analysis

Both views together

Clavicle

Pubis view Ilium view Clavicle Geometric morphometry Traditional morphometry Help

FORDISC 2.0, 3.0



Odhad dožitého věku

Terminologie

- odhad věku, náhod dožitého věku
- age estimation, age assessment, age of death estimation
- význam z věkových změn na kostiře a zubech člověka
- učíme se biologický věk

Výjádření odhadu dožitého věku

- věk v kategorii dožitého věku
- věk v kategorii nedospělých
- význam v kategorii dožitého věku
- interval (I) = 0 - 5
- interval (II) = 5 - 10
- interval (III) = 10 - 15
- interval (IV) = 15 - 20

- význam v kategorii nedospělých
- interval (I) = 0 - 5
- interval (II) = 5 - 10
- interval (III) = 10 - 15
- interval (IV) = 15 - 20

- interval (V) = 20 - 25
- interval (VI) = 25 - 30
- interval (VII) = 30 - 35
- interval (VIII) = 35 - 40
- interval (IX) = 40 - 45
- interval (X) = 45 - 50
- interval (XI) = 50 - 55
- interval (XII) = 55 - 60
- interval (XIII) = 60 - 65
- interval (XIV) = 65 - 70
- interval (XV) = 70 - 75
- interval (XVI) = 75 - 80
- interval (XVII) = 80 - 85
- interval (XVIII) = 85 - 90
- interval (XIX) = 90 - 95
- interval (XX) = 95 - 100

Věkově specifické znaky a změny



Metody pro odhad dožitého věku

metrické metody → morfologické metody



Ostatní analytické metody

• radiometrické metody
• histologické metody
• molekulární metody

Terminologie

- odhad věku, odhad dožitého věku
- *age estimation, age assessment, age at death estimation*
- vychází z věkových změn na kostře a zubech člověka
- určujeme biologický věk

Kdy a proč odhadujeme věk?

- kosterní nález neznámého původu
 - určení biologického profilu jedince = skupinová identifikace
 - předpoklad použití identifikačních a jiných pomocných metod
 - výběr vhodné metody
 - kraniofaciální analýza – rekonstrukce podoby jedince
- odhad věku mrtvol
 - ověření dokumentů totožnosti
 - základní odhad věku během soudně-lékařské pitvy
- odhad věku živých jedinců
 - děti – různý kontext vyšetřování trestného činu – dětská pornografie, kriminalita mladistvých
 - ověření pravidlosti tvrzení
 - mentálně postižení, hlučoněmí, cizinci
 - jedinci v komatu, šoku nebo jinak postiženi

Odhad dožitého věku

- **biologický věk** – postup kostrního vývoje jedince ve srovnání s normou
 - uváděný příslušností k věkově specifické kategorii
 - zubní věk
 - kostní věk
- **chronologický (kalendářní) věk** – doba od narození, rodný list, ID karta
 - uvedený v letech, měsících, týdnech nebo dnech
- **dožitý věk** – doba od narození do doby, kdy je jedinec prohlášen za mrtvého
- **proces odhadu dožitého věku je převodu stupně biologické změny (věkových schémata) na chronologický věk**

Chronologický vs biologický věk

- určení specifických vývojových stádií jedince určeným biologickým a psychologickým vývojem
 - fetus versus novorozeneц – znaky dozrávání plodu
 - nedospělý versus dospělý – znaky dokončeného vývoje a motorice
- průměrní normomí
- upraveno zákonem číslo 2/18/2003 Sb., o odpovědnosti mládeže za protiprávní činy a o souduřictví ve vězech mládeže
 - dítě mladší 15 let [den po dosažení 15. roku života]
 - mladiství (15-18 let)
 - mladistvý ≠ nezletilý
 - zletilost je upravena občanským zákoníkem
- věkové hrance právní odpovědnosti – odlišná mezi státy

• Systém z Severního Indie – 7 let
• UK – 10 let
• USA – 16 let
• Řecko – < 13 let, 13-17 let
• Francie – < 15 let
• Německo – < 14 let, 14-16 let
• Řecko – < 14 let, 14-19 let

Vyjádření odhadu dožitého věku

věkové kategorie dospělých

- adultus I (20 - 29)
- adultus II (30 - 39)
- maturus I (40 - 49)
- maturus II (50 - 59)
- senilis (60 a více)

věkové kategorie nedospělých

- infans I (0 - 0,5)
- infans II (0,5 - 6)
- infans III (7 - 13)
- juvenis (14 - 19)

- interval hodnot věku v letech
 - např. 0-3, 3-7, 20-25 atd.
- průměrná hodnota \pm směrodatná odchylka/směrodatná chyba
 - ODHAD VĚKU = HODNOTA \pm S.E.
- průměrná hodnota \pm interval spolehlivosti
 - ODHAD VĚKU = HODNOTA \pm 95% interval spolehlivosti ($1,96 \cdot S.E.$)
- věkové kategorie
- v současnosti neexistuje platný konsensus, odvíjí se od použité metody!

- 20-25 let
- 26-50 let
- >50 let

- 20-30 let
- 31-50 let
- >50 let

- 20-25 let
- 26-40 let
- >40 let

Věkově specifické znaky a změny

růstové a vývojové změny

NAROZENÍ

(14.) 15.rok

25.rok

18.rok

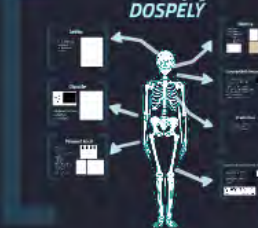
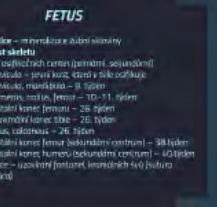
*znaky dovozenosti
plodu na kostře*

*znaky dospělosti
a dokončené^a
maturace na
kostře*

degenerativní
změny

60.rok

*senilní znaky na
kostře se stírají*



FETUS, NEDOSPĚLÝ

- sledování vývojových stádií skeletu a dentice = růst, vývoj, maturace
 - **kost**
 - průběh osifikace – vytvoření osifikačního jádra, % zastoupení osifikované kosti, primární kostní tkáň, sekundární kostní tkáň
 - proliferace kostních buněk a tvorba kostní tkáně – růst do délky a do šířky
 - změny složení kosti – postup mineralizace kostí
 - přítomnost růstové chrupavky
 - **dentice**
 - mineralizace zubní skloviny
 - prořezání primární dentice
 - prořezání sekundární dentice

PRINCIPY METOD – DOSPĚLÝ

- degenerativní změny na kostech a dentici, „wear and tear“ efekt = proces stárnutí
- kost - makro
 - osifikace spojení kostí – nepohyblivých (vazivových), pohyblivých (kloubních)
 - apozice kostní tkáně – osteofyty, exostózy
 - degenerace kloubních chrupavek – morfologie kloubních plošek
 - zvětšování medulární dutiny a osteoporotické změny
- kost - mikro
 - změny složení – úbytek organické hmoty kosti - kolagenu, osteokalcinu
 - změny struktury – ztenčování kortikální kosti, úbytek kostních buněk, velikostní změny v sekundární kostní tkáni (osteony, Haversovy kanálky, obvodový systém lamel, počet fragmentů osteonů)
- dentice
 - změny v mikrostrukturě zuba – sekundární dentin, sekundární cement
 - morfologie zuba – abraze zubní skloviny

FETUS

- **vývoj dentice** – mineralizace zubní skloviny
- **vývoj a růst skeletu**
 - výskyt osifikačních center (primární, sekundární)
 - clavicula – první kost, která v těle osifikuje
 - clavicula, mandibula – 9. týden
 - humerus, radius, femur – 10.-11. týden
 - distální konec femuru – 26. týden
 - proximální konec tibie – 26. týden
 - talus, calcaneus – 26. týden
 - distální konec femur (sekundární centrum) – 38.týden
 - distální konec humeru (sekundární centrum) – 40.týden
 - osifikace – uzavíraní fontanel, kraniálních švů (sutura metopica)

NOVOROZENEC

Lebka

- **os occipitale** – 4 části, canalis nervi hypoglossi není srostlý (srůstá v 1 roce)
- **os temporale** – 2 části (petromastoideální, squamotympanická), meatus acusticus externus otevřený
- **os sphenoidale** – tělo a malá křídla spojená, velká křídla a processus pterygoideus samostatně
- **os parietale** – výrazné hruby
- **os frontale** – šupina – výrazné hruby, dvě poloviny (sutura metopica)
- **maxilla** – 2 části
- **mandibula** – 2 části (12.-15. měsíc)
- **čelisti bez dentice** – korunky v kryptách, kalcifikace první trvalé stoličky



Postkraniální skelet

- všechny primární centra osifikace jsou přítomna s výjimkou distální části kožeče a předního oblouku C1
- **C1** – 2 části, **C2** – 4 části, **ostatní** – 3 části
- **sacrum** – 21 částí
- hlavice pažní a holenní kosti, distální epifýzy stehenní kosti, kosti patní, hlezenní a krychlové
- metrické znaky – délka cca 50 cm



Dentice

- prenatální tvorba skloviny – **striae Retzius**
- rozdíly v chemickém složení skloviny před a po narození (baryum a hořčík, méně stroncium)
- **neonatální linie** – tmavší, silnější
 - nižší mineralizace nově vytvořené tkáně
- zvýšená koncentrace zinku a olova
- někdy na povrchu hypoplazie



NEDOSPĚLÝ

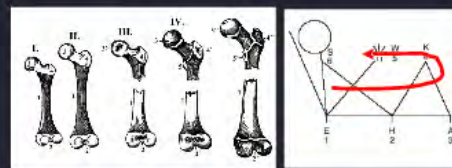
Lebka



- postupné dokončení vývoje neurokrania
- růst faciálního skeletu
- remodelace čelistí pod vlivem prožezání trvalé dentice
- pneumatizace kostí lebky

Postkraniální skelet

- morfologické znaky
- kostra – osifikační centra
 - primární použitelná do 6–8 roku
 - sekundární osifikační centra
 - uzavírání růstových chrupavek
- primární kostní tkáň



Dentice

- mineralizace zubní skloviny
- prořezávání dočasně dentice
- prořezávání trvalé dentice



DOSPĚLÝ

Lebka

- srůst lebčních švů
 - exocranum
 - endocranum
 - maxillo



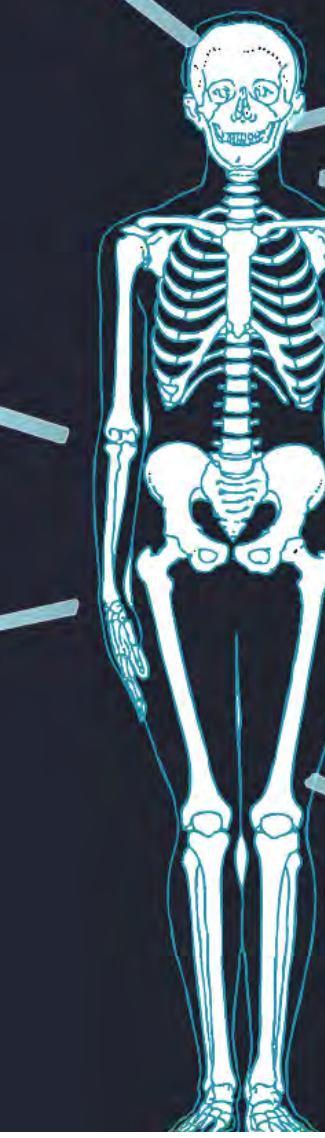
Obratle

- degenerativní změny
- osteofyty
- synostózy



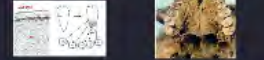
Pánevní kosti

- jazyk s hypofaryngeální osou pohybu
 - destruktivní
 - osteoartritid
 - akutní zánět
 - posttraumatické artróza
 - prokluzivní - protrusivní artróza
- kyftotikus
 - kyftotikus
 - kyftotikus
 - kyftotikus
 - kyftotikus
- koste kyftotikus vlastní dílo
 - akutní zánět - posttraumatický
 - kyftotikus
 - akutní zánět
 - kyftotikus
 - kyftotikus
 - kyftotikus
- kyftotikus vlastní dílo



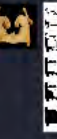
Dentice

- obraz korunky zubů (skloviny)
- výrazně populačně zásadní znak
- sekundární dentin
- sekundární cement



Laryngeální chrupavky

- srůst os hyoidum - spojení mezi tělem a velkým rohy - po 30. roce života
- osifikace cartilago thyroidea
- postup v kaudokraniálním směru
- úplná osifikace - 50-60 rok
- závislost na pohlaví
- osifikace cartilago cricoide



Hrudní koš

- sternální konec klavikuly
- sternální konec 4. žebra
- mikrostruktura žebér

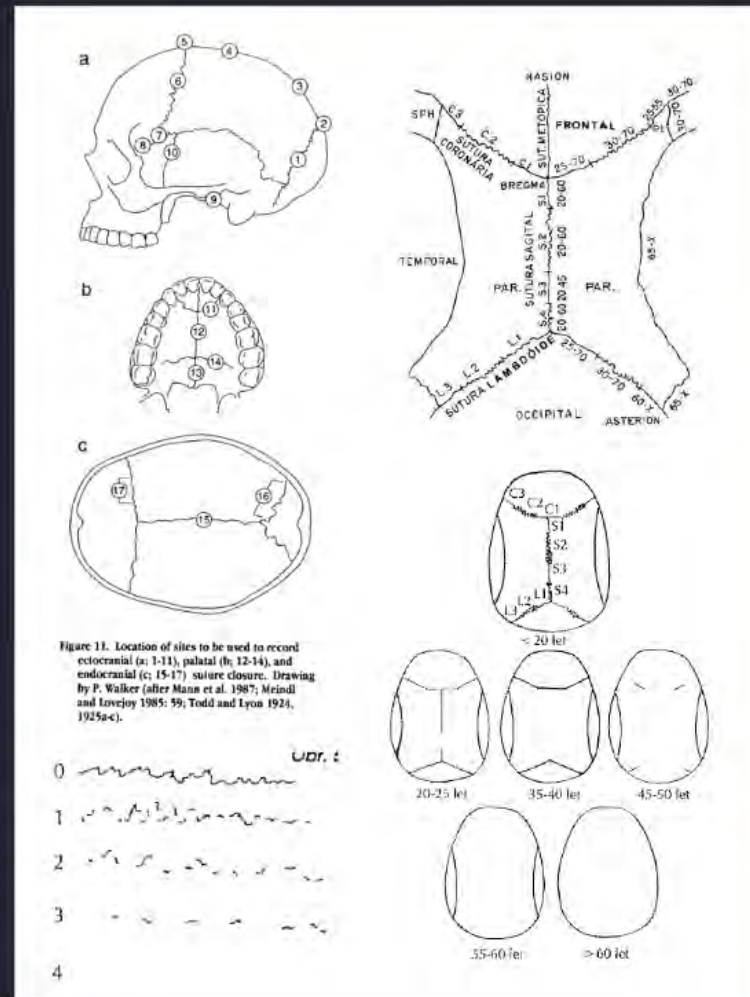
Dlouhé kosti horních/dolních končetin

- transversální kardiální lysis (lyse)
- cestovně letecké dutiny
 - krční kanál
 - kruh zádeční
 - akutní komorativní metaboly
 - degenerativní změny na klopně

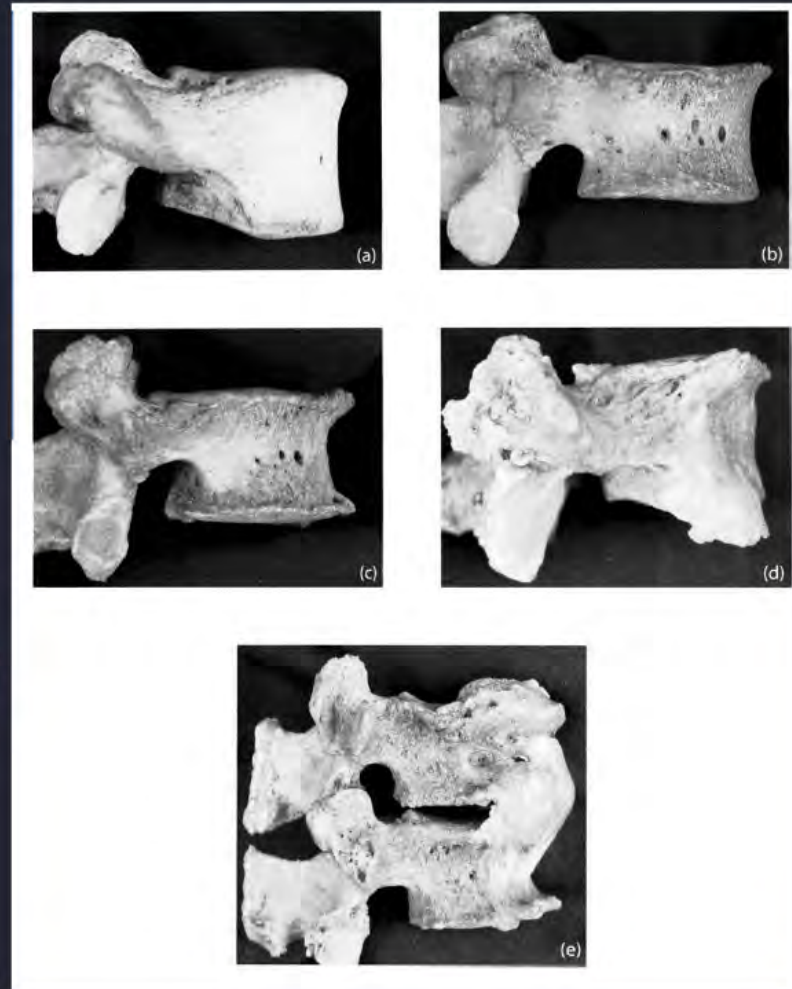
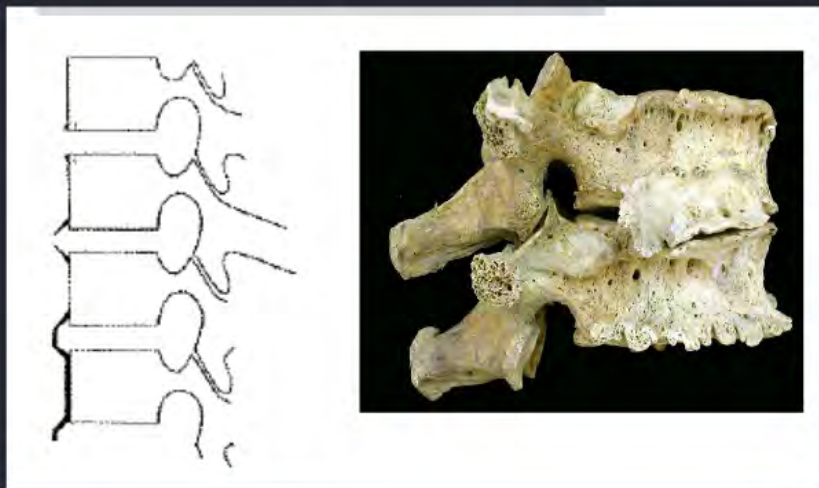


Lebka

- srůst lebečních švů
 - exocranum
 - endocranum
 - maxilla



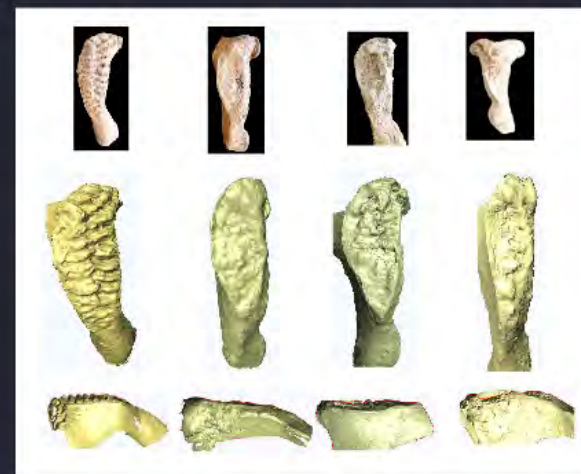
Obratle



- degenerativí změny
- osteofyty
- synostózy

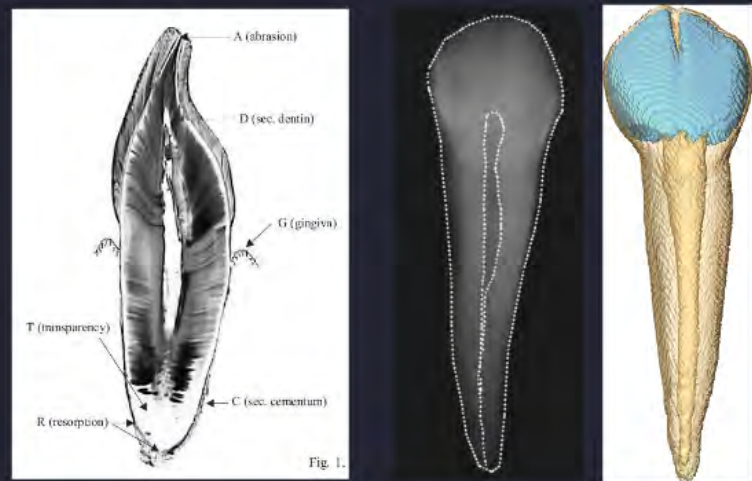
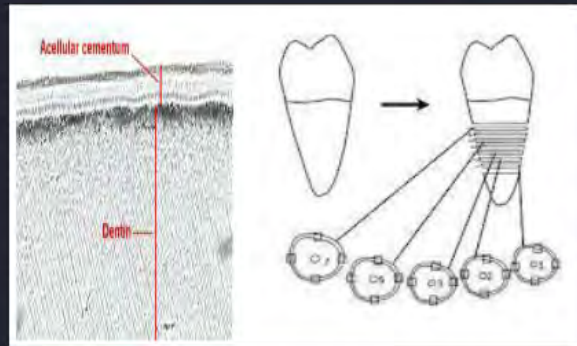
Pánevní kosti

- **facies symphysialis ossis pubis**
 - dorzální faseta
 - ventrální val
 - symfyzeální okraj
 - postupné vyhlazování reliéfu
 - po 40. roce – granulózní povrch
 - vytváření dorzálního valu
- **acetabulum**
 - okraj acetabula
 - fossa acetabuli
 - facies lunata
 - osteofyty
- **facies auricularis ossis illium**
 - příčné zvlnění - postupná ztráta
 - jemná zrnitost reliéfu - ztráta
 - hladkost povrchu
 - resorpce okraje
 - mikroporozita
 - tvorba výrůstky
- nejsou ovlivněny pohlavím ani populací
- pouze < 55 let!!!



Dentice

- abraze korunky zubů (skloviny)
- výrazně populačně závislý znak
- sekundární dentin
- sekundární cement



Laryngeální chrupavky

- srůst os hyoideum - spojení mezi tělem a velkými rohy – po 30.roce života
- osifikace cartillago thyroidea
- postup v kaudokraniálním směru
- úplná osifikace – 50.-60.rok
- závislost na pohlaví
- osifikace cartillago cricoidea

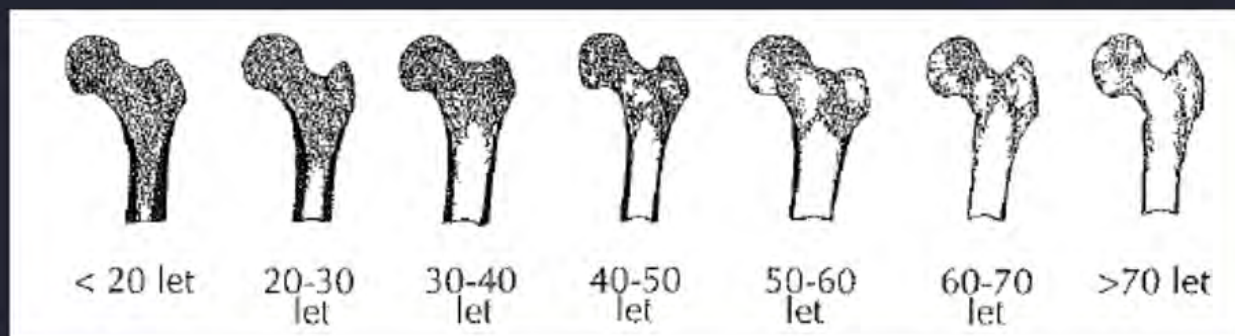
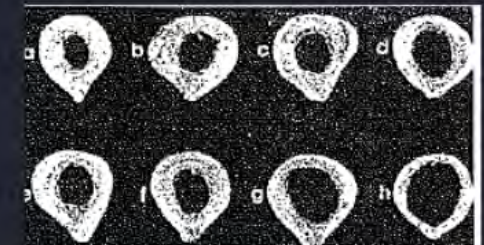


Hrudní koš

- sternální konec klavikuly
- sternální konec 4. žebra
- mikrostruktura žeber

Dlouhé kosti horních/dolních končetin

- tloušťka kortikální kosti femuru
- ústup medulární dutiny
 - kost stehenní
 - kost pažní
- součást kombinační metody
- degenerativní změny na
 - kloubech



Metody pro odhad dožitého věku

metrické metody → morfoskopické metody

NAROZENÍ

(14.) 15.rok

25.rok

60.rok

*znaky donošenosti
plodu na kostře*

*18.rok
znaky dospělosti a
dokončené maturace na
kostře*

*senilní znaky na
kostře se stírají*

FETUS

NEDOSPĚLÝ

metrické znaky
- první výběžek chlouba, postupný
- rozvoj kralice, kružnice, kružnice
- rozvoj kralice, kružnice, kružnice
- 16-letec, mrtvoty, vlnění

metrické znaky
- první výběžek chlouba, postupný
- rozvoj kralice, kružnice, kružnice
- rozvoj kralice, kružnice, kružnice
- 16-letec, mrtvoty, vlnění

metrické znaky
- první výběžek chlouba, postupný
- rozvoj kralice, kružnice, kružnice
- rozvoj kralice, kružnice, kružnice
- 16-letec, mrtvoty, vlnění

metrické znaky
- první výběžek chlouba, postupný
- rozvoj kralice, kružnice, kružnice
- rozvoj kralice, kružnice, kružnice
- 16-letec, mrtvoty, vlnění

NEDOSPĚLÝ VS. DOSPĚLÝ

DOSPĚLÝ

FETUS

- celková délka těla koreluje se stářím od početí
 - délka temeno-kostrč (crown-rump)
 - délka temeno-pata (crown-heel)

Haasovo pravidlo (Karl Friedrich Haase)

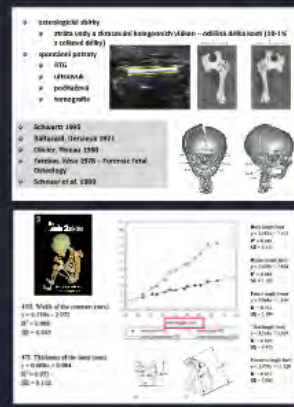
- 1.-5. měsíc intrauterinního vývoje
 - druhá odmocnina délky plodu určí přibližně stáří
- 6.-9. měsíc intrauterinního vývoje
 - délka v cm dělena 5 určí stáří v měsících

2 lunární měsíce	8 cm
3 lunární měsíce	9 cm
4 lunární měsíce	16 cm
5 lunární měsíce	25 cm
6 lunární měsíce	30 cm
7 lunárních měsíců	35 cm
8 lunárních měsíců	40 cm
9 lunárních měsíců	45 cm
10 lunárních měsíců	50 cm

5 lunárních měsíců	24-26 cm
5,5 měsíců	27-28 cm
6 měsíců	29-31 cm
6,5 měsíců	32-34 cm
7 měsíců	35-36 cm
7,5 měsíců	37-38 cm
8 měsíců	39-41 cm
8,5 měsíců	42-43 cm
9 měsíců	44-46 cm
9,5 měsíců	47-48 cm
10 měsíců	49-51 cm

- celková délka těla koreluje s dobou od početí
- délka těla koreluje s délkou dlouhých kostí

- humerus 61-65 mm
- radius 49-53 mm
- ulna 60 mm
- femur 70-75 mm
- tibia 65 mm
- fibula 62 mm



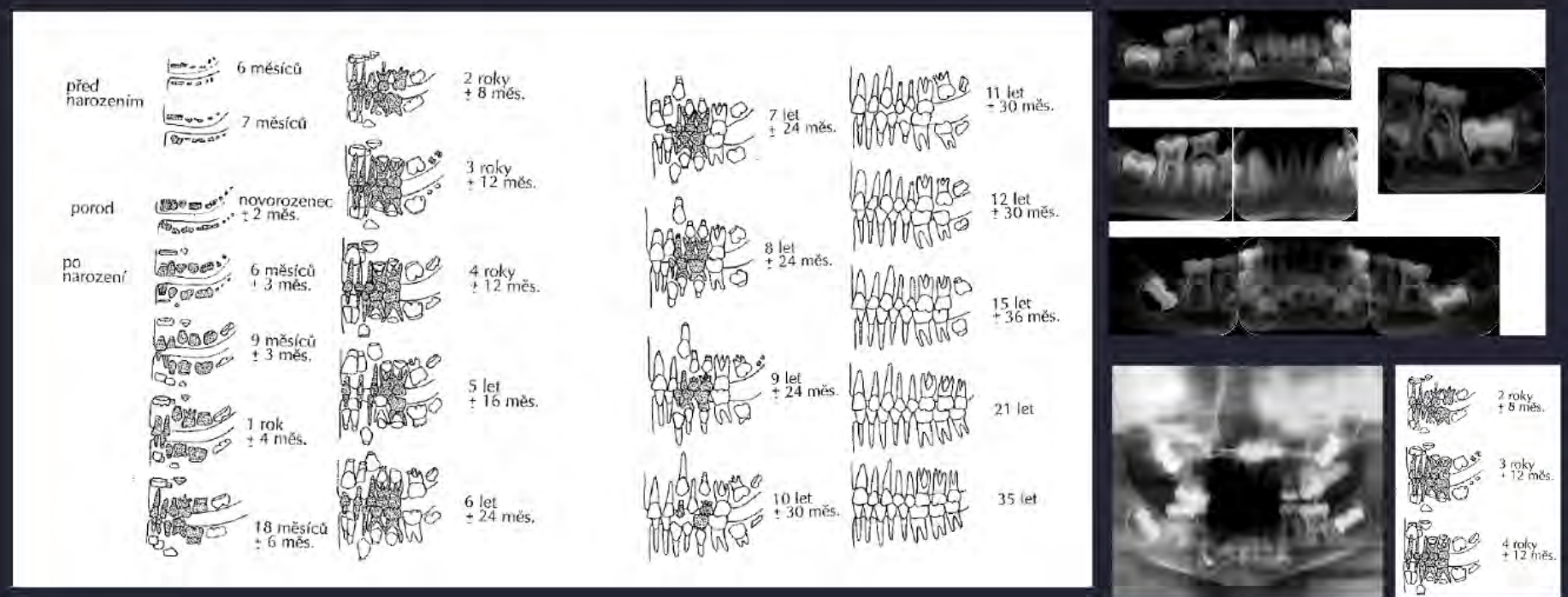
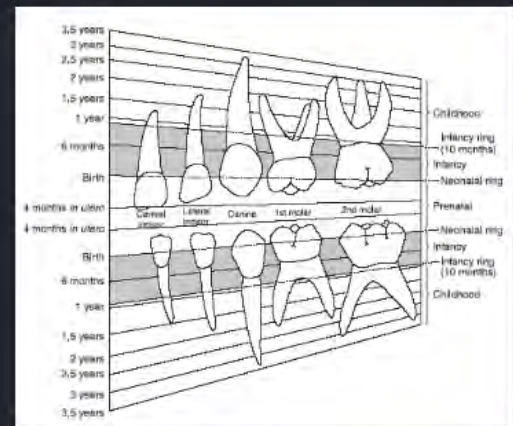
MINERALIZACE ZUBNÍ SKLOVINY

- prenatálně od 6.měsíce
- Demirjian 1973, 1976**
 - 9 stádií
 - mineralizace korunky (1-5)
 - mineralizace kořene (6-8)
 - uzavření apexu (9)



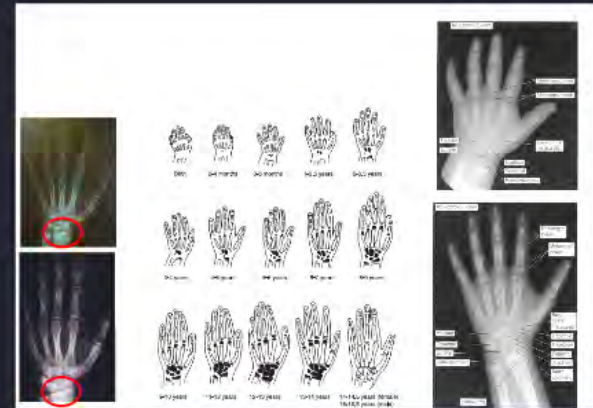
NEDOSPĚLÝ

- prořezávání dočasných dentice
- prořezávání trvalých dentice
- hodnocení – aspektivně, RTG, OPG
- I-typ vs. M-typ – podmíněno geneticky, vnější vlivy, pohlaví



RTG LEVÉ RUKY

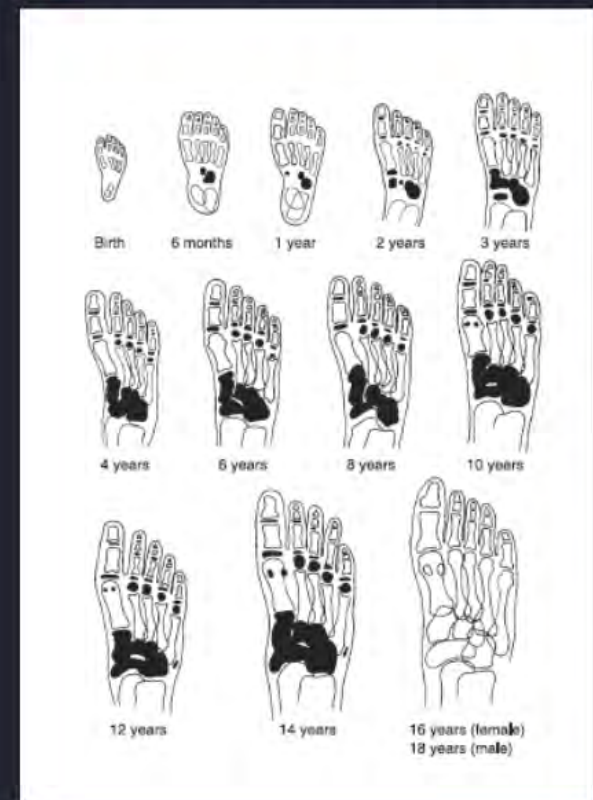
- primární osifikační centra, postup osifikace
- ossa carpalia, radius, ulna, ossa metacarpalia
- součet skóre
- < 16-18 let, mrtvoly, živí jedinci



RTG PRAVÉ NOHY

- primární osifikační centra, postup osifikace
- ossa tarsalia, ossa metatarsalia,
- ossa sezamoidea
- mrtvoly, živí jedinci

TW2, TW3 – Tanner-Whitehouse



**osifikace – schémata
uzavírání růstových
chrupavek – Stewart
1979, Ferembach et al.
1980, Krogman 1986**

- Stloukal, Hanáková 1978 – růstové tabulky
- Rissech et al. 2008 – 4 rozměry femuru, regresní analýza
- Florkowski, Kozłowski 1994 – scapula, illium, os pubis, růstové tabulky
- Rösing 1977 – radius, ulna, femur



věk	pažní kost průměr	vřetenní kost průměr	loketní kost průměr	stehenní kost průměr	holenní kost průměr
6 měs.	88.1 (78 -97.0)	69.7 (63 -75.0)	75.9 (72 -80.0)	108.1 (95 -122)	88.8 (84 -93.0)
12 měs.	97.9 (89 -106)	76.7 (68 -85.0)	83.1 (79 -86.0)	122.0 (109-135)	99.2 (93 -105)
18 měs.	108.6 (98 -118)	84.1 (75 -90.0)	91.3 (85 -95.0)	137.5 (122-152)	111.4 (102 -120)
24 měs.	117.5 (106-129)	89.8 (80 -96.0)	98.5 (93-102)	149.6 (135-166)	121.4 (109 -131)
30 měs.	124.9 (113-138)	95.1 (86 -103)	104.7 (98-110)	160.9 (143-182)	131.7 (117 -144)
3 roky	133.5 (120-147)	101.6 (93 -110)	111.4 (104-117)	174.1 (156-196)	142.2 (127 -156)
4 roky	142.7 (128-159)	108.3 (98 -120)	119.8 (111-129)	188.3 (169-213)	151.9 (136 -171)
5 let	152.4 (136-170)	116.0 (105-130)	128.0 (118-139)	203.2 (183-230)	164.1 (146 -184)
6 let	163.8 (147-181)	125.1 (114-140)	137.3 (125-152)	221.1 (198-216)	177.1 (158 -201)
7 let	174.8 (157-192)	133.5 (121-152)	147.2 (134-164)	238.1 (214-263)	188.9 (168 -216)
8 let	184.6 (169-210)	141.9 (130-160)	157.1 (145-174)	253.0 (228-278)	202.0 (180 -227)
9 let	194.3 (178-210)	149.2 (139-163)	164.4 (154-178)	266.5 (241-290)	213.6 (191 -235)
10 let	203.9 (186-218)	156.9 (149-168)	172.4 (163-186)	281.2 (254-305)	224.3 (202 -246)
11 let	211.9 (196-224)	163.3 (156-175)	178.1 (169-193)	292.5 (265-323)	235.1 (212 -259)
12 let	219.9 (202-234)	168.8 (160-179)	182.9 (173-198)	302.9 (279-337)	244.4 (218 -368)
13 let	231.2 (211-247)	175.7 (165-188)	190.7 (178-208)	319.0 (286-358)	256.1 (227 -283)
14 let	240.8 (220-257)	182.5 (166-200)	198.0 (183-221)	333.3 (296-382)	269.8 (235 -301)

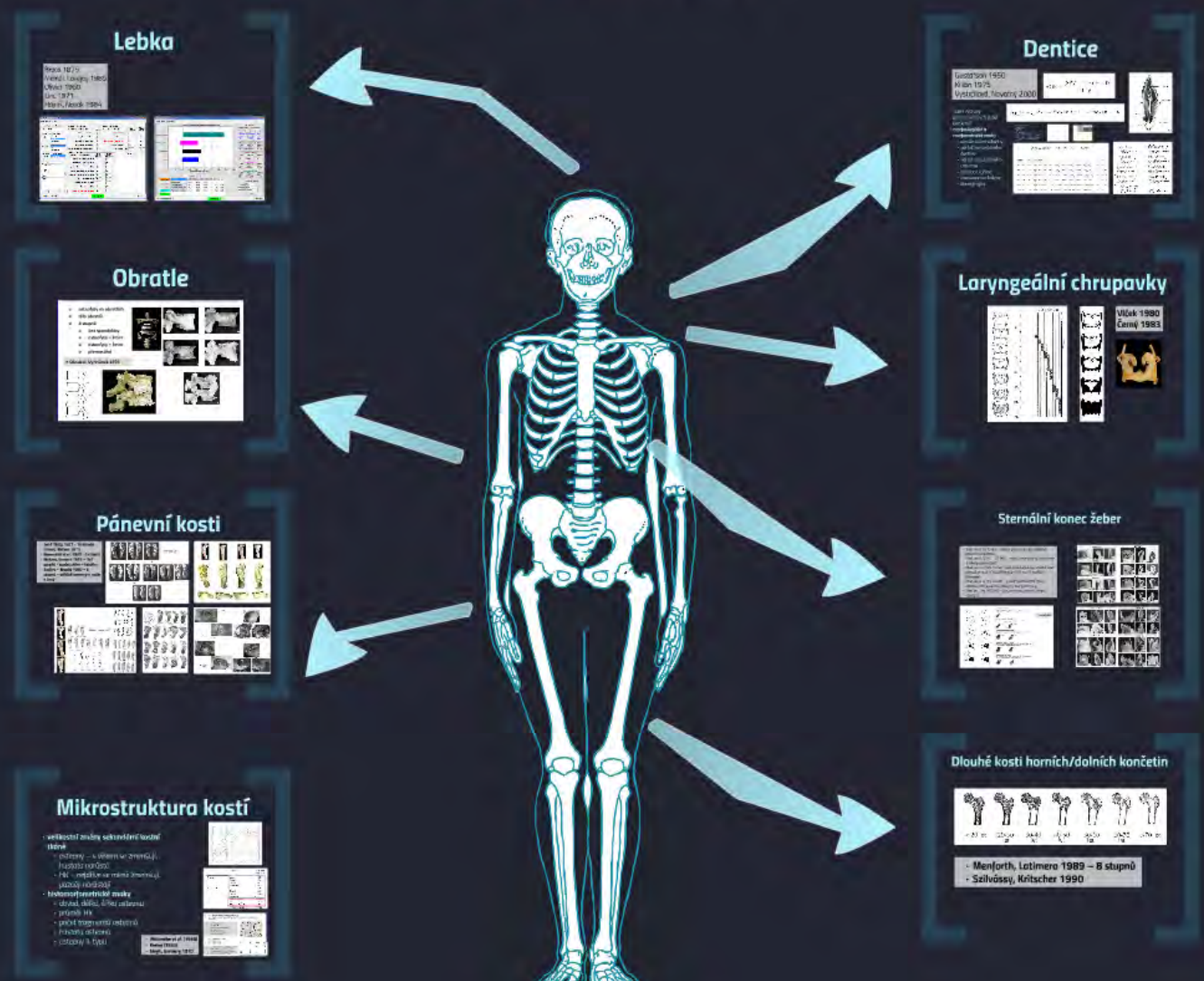
NEDOSPĚLÝ VS. DOSPĚLÝ

- **sternální konec kosti klíční**
 - růstová chrupavka
 - RTG, CT < 21 let
- **mineralizace kořene M3**
 - dokončena před 21. rokem, vysoké riziko
 - falešně pozitivního zhodnocení - retence M3
- **synchondrosis sphenooccipitalis**
 - uzavřená růstová chrupavka
- **velikost kostí** – nezaměnit s patologiemi !!!
(achondroplazie, hypochondroplazie aj.)
- **hlavní ukazatele neukončeného vývoje**
 - nepřirostlé růstové chrupavky
 - reliéf na koncích diafýzy
 - struktura kostní tkáně – primární kost – vláknitá kostní tkáň, primární kostní tkáň = nezaměnit se zvířecí kostí !!!
 - přítomnost primární dentice

- stadium
- 1: osifikace nezačala (<12-14 let)stadium
- 2: sekundární osifikační centrum, růstová chrupavka neosifikovaná stadium
- 3: růstová chrupavka částečně osifikovaná (16-21 let)stadium
- 4: růstová chrupavka plně osifikovaná stadium
- 5: fúze obou částí, není viditelná růstová štěrbina



DOSPĚLÝ



Lebka

Broca 1875
 Meindl, Lovejoy 1985
 Olivier 1960
 Linc 1971
 Hajniš, Novák 1984

ADBOU Age estimation 2.1.041

Data Table | Analysis

Case/Specimen Number: MC-09-107

Model Characteristics:

- Sex:** Male (selected)
- Ancestry:** White (selected)
- Mortality Model:** Archeological (selected)

Cranial Sutures (1-5)

	Left	Right
Coronal - pterica	5	5
Sagittal - obelica	3	3
Lambdoid - asterica	3	3
Interpalatine suture	1	6
Zygomatico-maxillary suture	1	3

Auricular Surface

	Left	Right
Superior Topography (1-3)	2	2
Inferior Topography (1-3)	2	2

Pubic Symphysis

	Left	Right
Topography (1-6)	4	5
Texture (1-4)	3	3
Superior protuberance (1-4)	3	3
Ventral margin (1-7)	6	6
Dorsal margin (1-6)	3	3

Notes:

Graph Type: New Skeleton | Analyze | Exit

ADBOU Age estimation 2.1.041

Data Table | Analysis

MC-09-107

Mortality Model: White Male

Probability: 90 (selected)

ADBOU 2.0 Maximum Likelihood Age Estimation

Estimated Age with 95% CI:

Feature	Corrected	Uncorrected
Auricular Surface	~37.9	~55.5
Pubic Symphysis	~35.4	~50.9
Uncorrected	~55.2	~57.0
Corrected	~56.2	~58.0

Graph Type: New Skeleton | Analyze | Exit

Statistics Table:

	L_95%	Point_Est	U_95%	DF	Chi-sq	P
Corrected	29,1	37,9	51,9	-	-	-
Uncorrected	29,7	39,4	55,5	1	1,7	0,19
Public Symphysis	26,8	35,4	50,9	4	3	0,65
Auricular Surface	30,5	56,2	87,4	9	1,8	0,99

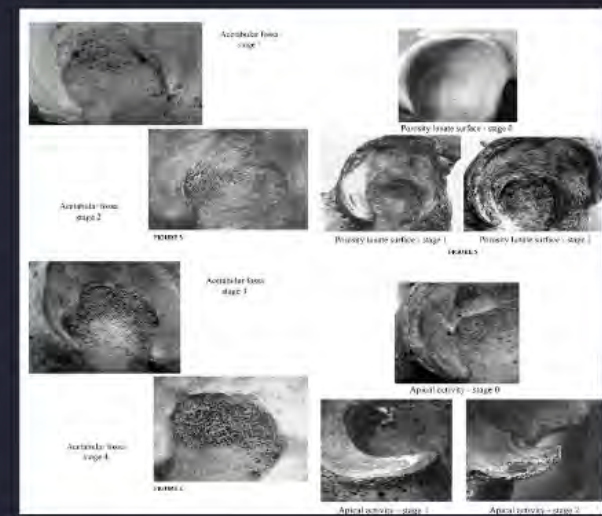
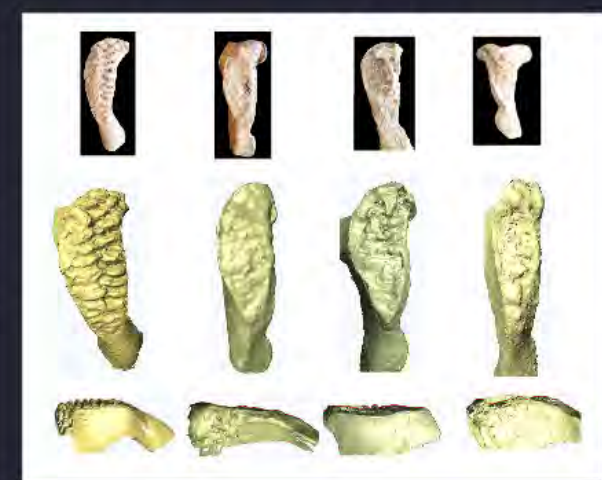
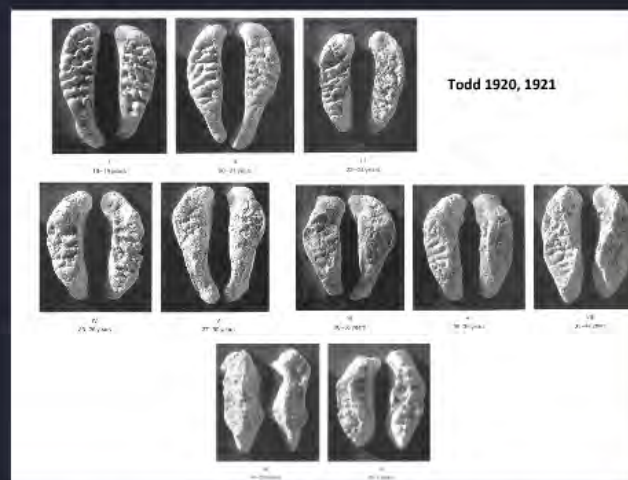
Mortality Model:

- Sex:** Male
- Ancestry:** White
- Hazard:** Forensic

Reset

Pánevní kosti

- Todd 1920, 1921 - 10 stupňů
- Gilbert, McKern 1973
- Nemeskéri et al. 1960 - 5 stupňů
- McKern, Stewart 1957 - 3x5 stupňů - součet skóre - tabulky
- Suchey - Brooks 1990 - 6 stupňů - odlišné vzorce pro muže a ženy



Mikrostruktura kostí

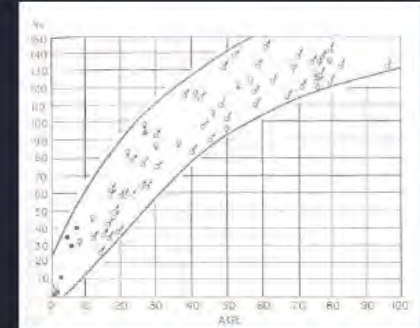
- **velikostní změny sekundární kostní tkáně**

- osteony – s věkem se zmenšují, hustota narůstá
- HK – nejdříve se mírně zmenšují, později narůstají

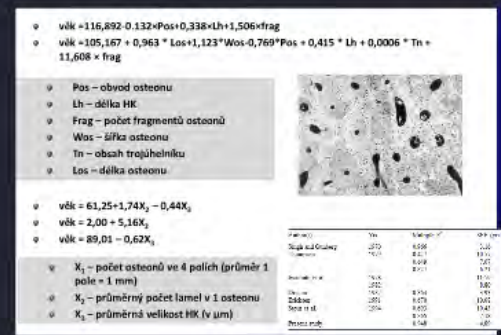
- **histomorfometrické znaky**

- obvod, délka, šířka osteonu
- průměr HK
- počet fragmentů osteonů
- hustota osteonů
- osteony II. typu

• Watanabe et al. (1998)
• Kerley (1965)
• Singh, Gunberg 1970



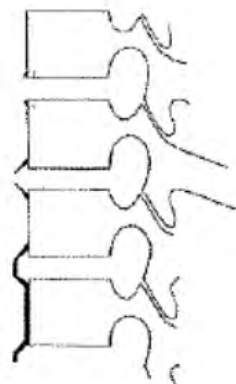
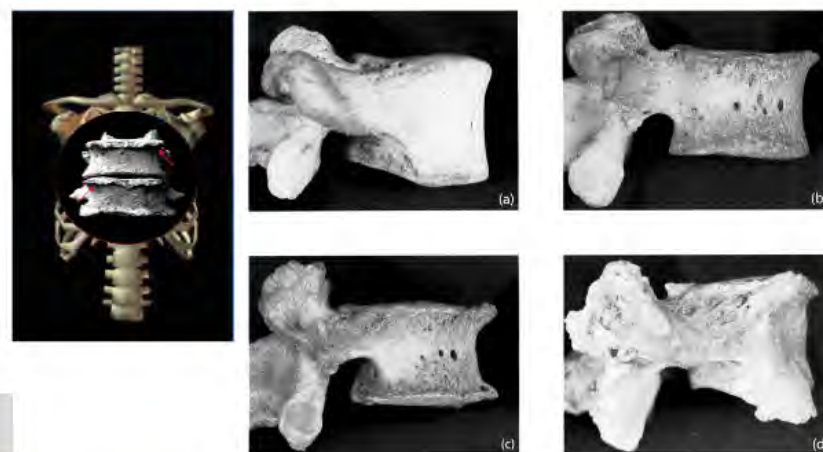
	Variable	Correlation Coefficient
Osteon	Area	-0.8262
	Length	-0.8343
	Width	-0.7713
	Perimeter	-0.8351
Haversian Canal	Area	-0.1059
	Length	-0.1245
	Width	-0.0683
	Perimeter	-0.1145
Number osteon		0.6480
Number fragment		0.7108
Number Type II		0.7440
Area of triangle		-0.6545



Obratle

- osteofyty na obratlích
- těla obratlů
- 4 stupně
 - bez spondylózy
 - osteofyty < 3mm
 - osteofyty > 3mm
 - přemostění

• Stloukal, Vyhnanek 1976



Dentice

Gustafson 1950

Kilián 1975

Vystrčilová, Novotný 2000

$$\text{AGE} = \frac{(\text{SPV} - \text{T}\%)}{1.16} + 3.42$$

- zubní výbrusy jednokořenových zubů bez kazů!
- morfologické a morfometrické znaky**
 - abraze zubní skloviny
 - nárůst sekundárního dentinu
 - nárůst sekundárního cementu
 - resorpce kořene
 - transparence kořene
 - úpon gingivy

$$\text{AGE} = e^{(2.59 + 0.02\sqrt{A\%} + 0.05\sqrt{C\%} + 0.08\sqrt{D\%} + 0.03\sqrt{R\%)}}$$

- vložit rozsah veku 0-8
- celkem 5 kategorií
- po 0,5 stupňích
- součet skóre
- SPV = součet všech skóre
- T% = proximální zastoupení skóre pro transparentnost
- 95 % interval spolehlivosti: predikce ± 0,16 let
- 99 % interval spolehlivosti: predikce ± 0,97 let
- Pomocný atlas pro hodnocení jednotlivých parametrů



$$\text{Age} = 86.53 - 457.15 \cdot \text{AR} - 22.98$$

Tooth	N	Equation	R ²	SE
34 + 35	361	Age = 93.55 - 360.43 · R ₃₄ - 380.69 · R ₃₅ + 1855.3 · R ₃₄ · R ₃₅	0.81	6.29
35 + 44	274	Age = 94.48 - 357.17 · R ₃₅ - 379.38 · R ₄₄ + 1783.88 · R ₃₅ · R ₄₄	0.82	5.87
34 + 45	325	Age = 104.00 - 423.39 · R ₃₄ - 481.12 · R ₄₅ + 2428.31 · R ₃₄ · R ₄₅	0.81	6.24
44 + 45	287	Age = 99.26 - 401.23 · R ₄₄ - 387.75 · R ₄₅ + 1874.37 · R ₄₄ · R ₄₅	0.83	6.07
35 + 45	310	Age = 100.23 - 417.87 · R ₃₅ - 437.67 · R ₄₅ + 2274.03 · R ₃₅ · R ₄₅	0.84	5.75
34 + 44	317	Age = 94.77 - 337.10 · R ₃₄ - 372.85 · R ₄₄ + 1578.33 · R ₃₄ · R ₄₄	0.79	6.38

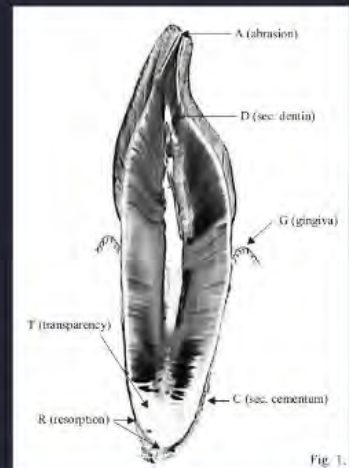
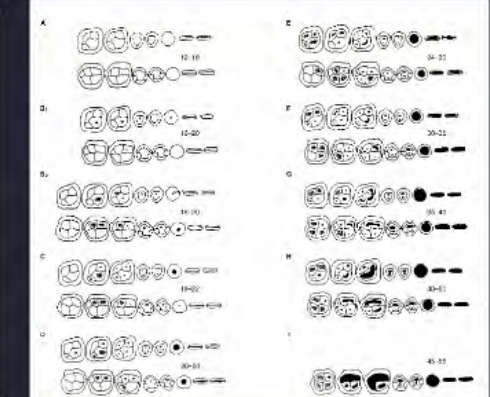
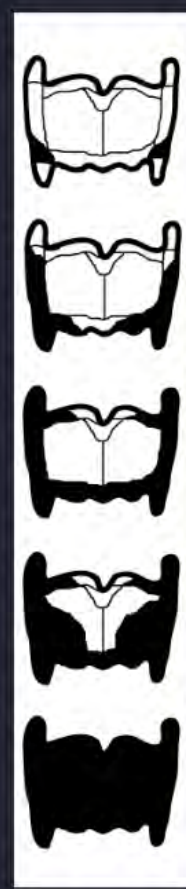
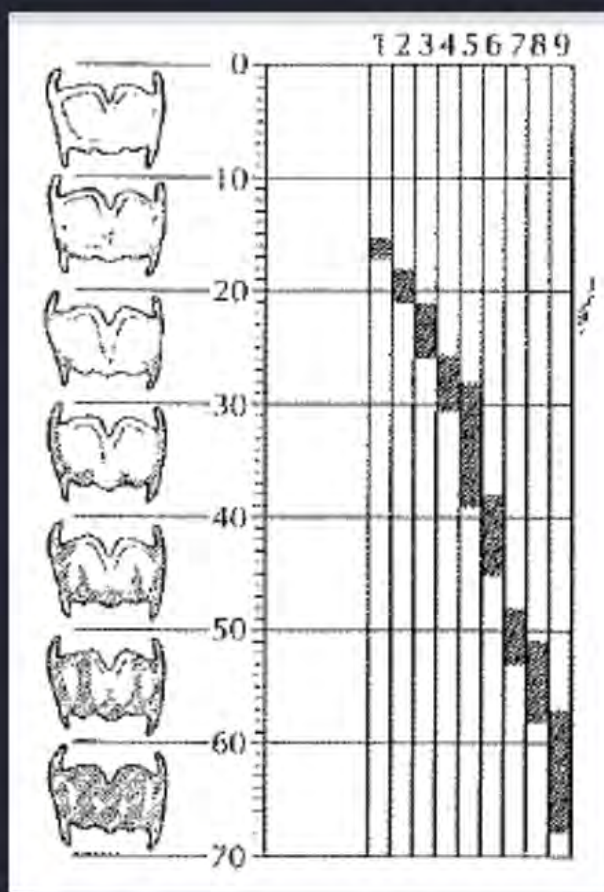


Fig. 1.



Laryngeální chrupavky



Vlček 1980
Černý 1983

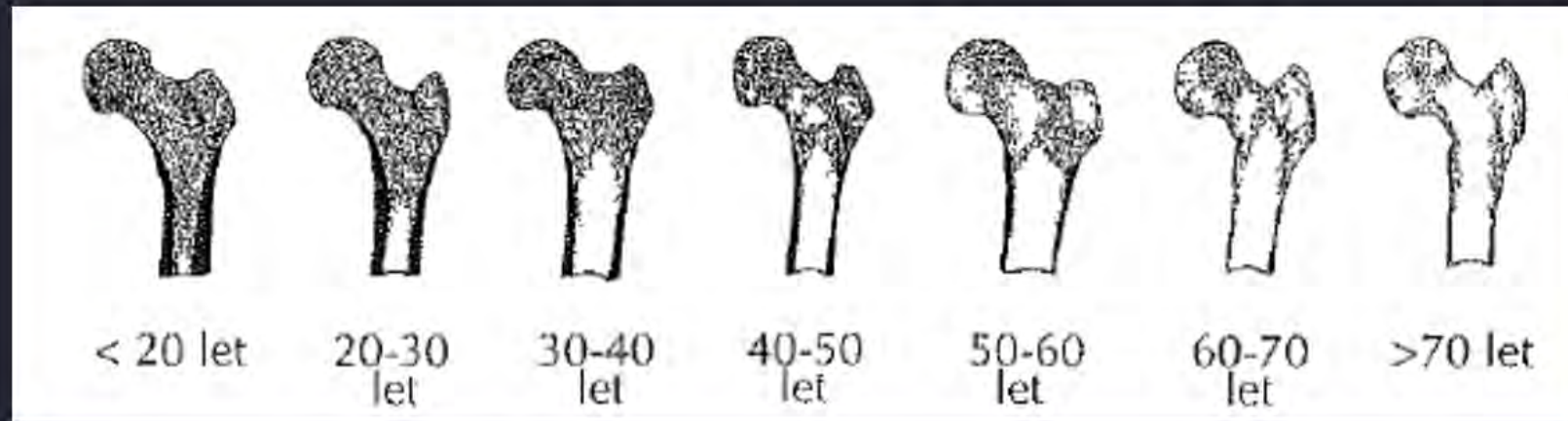


Sternální konec žeber

- Stadium 0 (<15 let) – plochý povrch, okraje zaoblené, povrch mírně vlnitý
- Stadium 1, 2 (15– 25 let) – vnitřní povrch nabývá písmene V, okraje jsou ostřejší
- Stadium 3-4 (25-30 let) nepravidelné okraje, střední část převyšuje ostatní části okraje, vnitřní povrch nabývá písmene V
- Stadium 5-6 (35-55 let) – prohloubení vnitřní části, nepravidelné vyvýšené okrajem, tvar písmene U
- Stadium 7-8 (+55 let) – porózní nepravidelné okraje, resorpce



Dlouhé kosti horních/dolních končetin



- Menforth, Latimera 1989 – 8 stupnů
- Szilvássy, Kritscher 1990

Rekonstrukce tělesných proporcí

Terminologie

- odhad tělesné výšky, rekonstrukce tělesné výšky, odhad tělesných proporcí
- stature estimation, height estimation, stature reconstruction, estimation of body proportions

- vychází ze vztahu velikosti kosti a velikosti těla
- nejvýšší korelace s délkovými měřeními dlouhých kostí horních a dolních končetin
- platí, že každá kost těla do určité míry koreluje s velikostí těla

Osteometrické znaky

- maximální nebo fyziologická délka dlouhých kostí
- horní končetiny
 - humerus
 - radius
 - ulna
- dolní končetiny
 - femur
 - fibula
 - talus/calcaneus
- lebka - basibregmatická výška



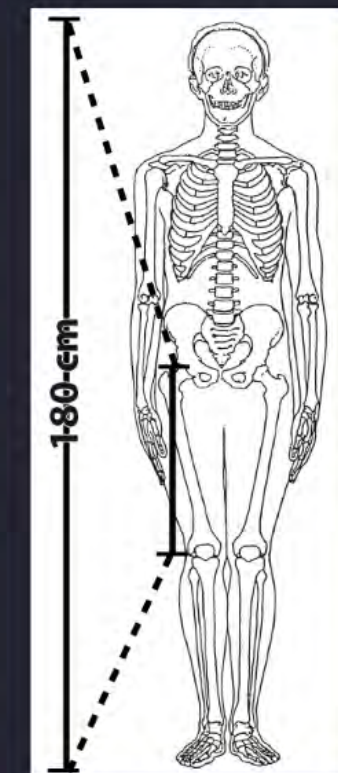
Metodické nedostatky

- největší **diskrepancia** mezi skutečnou (normativní) hodnotou a hodnotou uvedenou v dokladech nebo dokumentech
- systématické nadhodnocování tělesné výšky – muži > ženy (2,5 cm vs. ženy 1 cm)
- obvytek tělesné výšky **během dne** ± 1 cm
- obvytek s **přibližujících vekem** – muži > ženy
 - z nichž ženy mezi 45–50 rokem
 - okolo 7,5 roku značně obylek u žen
- výskyt asymetrie měřicích zařízení
- význam pohybu diarthrosis
- významné meziindividuální rozdíly
- rozdíly mezi generacemi
- sekulární trend



Metody

- tabulky (Mannourie)
 - pomocné metody
 - převizní model
 - fredu: náležitě regresivní modely
 - jednorozměrné
 - všeobecné/univerzální pro všechny pohlaví
 - odstílení pro příslušné pohlaví
 - univerzální pro populace
 - papuazský-sociální
- ODHAD VÝŠKY = HODNOTA ± S.E.**
ODHAD VÝŠKY = HODNOTA ± 95% interval spolehlivosti (1,96 * S.E.)



Terminologie

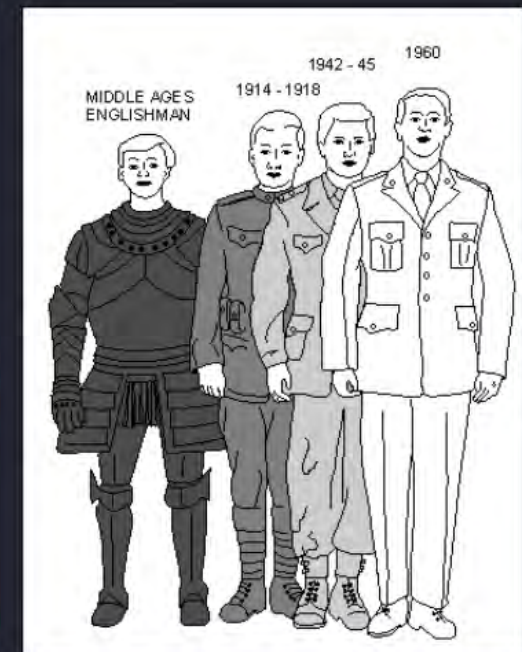
- odhad tělesné výšky, rekonstrukce tělesné výšky, odhad tělesných proporcí
 - *stature estimation, height estimation, stature reconstruction, estimation of body proportions*
-
- vychází ze vztahu velikosti kosti a velikosti těla
 - nejvyšší korelace s délkovými mírami dlouhých kostí horních a dolních končetin
 - platí, že každá kost těla do určité míry koreluje s velikostí těla

Metodické nedostatky

- nejčastější **diskrepance** mezi skutečnou (naměřenou) hodnotou a hodnotou uvedenou v dokladech nebo dokumentaci
 - systematické nadhodnocování tělesné výšky – muži > ženy (2,5 cm vs „jen“ 1 cm)
- úbytek tělesné výšky **během dne** ± 1 cm
- úbytek **s přibývajícím věkem** – muži > ženy
 - zachytitelný mezi 45-50.rokem
 - okolo 75.roku převládne úbytek u žen
- výskyt asymetrie metrických znaků
- výrazný pohlavní dimorfismus
- výrazné mezipopulační rozdíly
- rozdíly mezi generacemi
- sekulární trend

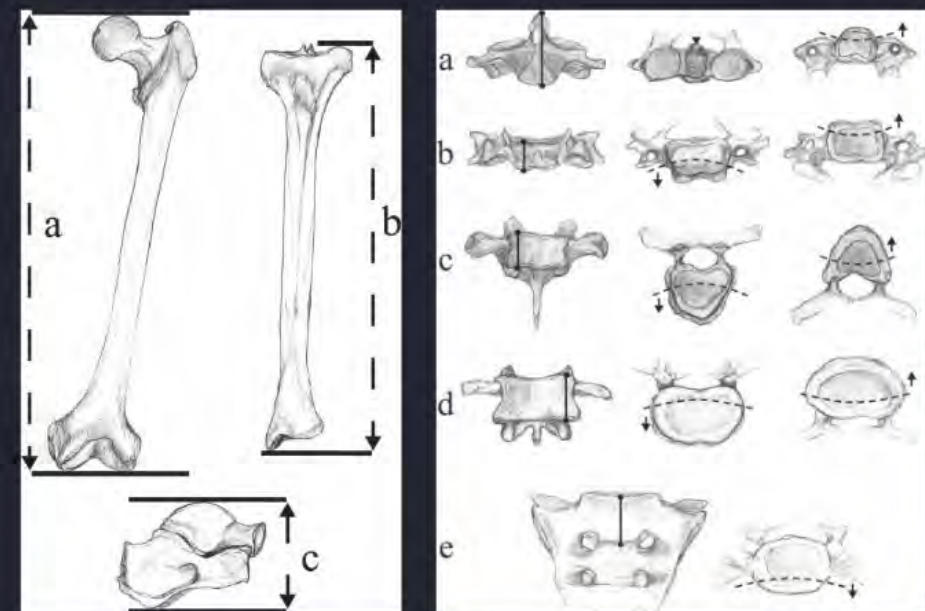
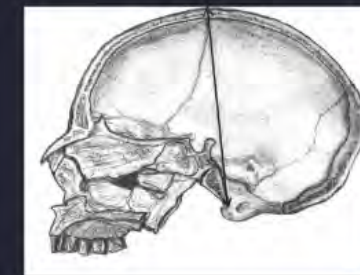
Vliv laterality na odhad tělesné výšky

- délka kostí – delší na dominantní straně – humerus, radius, ulna
- rozdíly v délce výšky u horní končetiny než u dolní
- průměrné rozdíly
- horní končetina 1-3% (pravá),
- dolní končetina – za 1% (levá) - závislost asymetrie u nedospělých jedinců – mazlí mezi 10-15 rokem života



Osteometrické znaky

- maximální nebo fyziologická délka dlouhých kostí
- **horní končetiny**
 - humerus
 - radius
 - ulna
- **dolní končetiny**
 - femur
 - tibia
 - fibula
 - talus/calcaneus
- lebka - basiobregmatická výška



Metody

- tabulky (Manouvrier)
- poměrové metody
- predikční model
 - lineární nebo jiné regresní modely
 - jednorozměrné
 - vícerozměrné univerzální pro obě pohlaví
 - oddělené pro příslušné pohlaví
 - univerzální pro populace
 - populačně-specifické

- ODHAD VÝŠKY = HODNOTA \pm S.E.
- ODHAD VÝŠKY = HODNOTA \pm 95% internal spolehlivosti (1,96*S.E.)

Anatomická metoda

- Fullyho metoda (Fully 1956) – výška lebky, výška C2-S1, fyziologická délka femuru a tibie a výška spojeného talu a calcaneu – vyžaduje kompletní skelet
- korekce měkkých tkání
 - <153,5 cm ...10 cm
 - 153,6-165,4...10,5 cm
 - >165 cm ...11,5 cm

Regresní rovnice

- Černý, Komenda 1979
- Trotter, Gleser 1952, 1959, 1977
 - Terryho kolekce, RTG z korejské války
 - soubor podhodnocuje ženy
- FORDISC - forenzní případy
- vždy zkontolovat jednotky!!!



Počítačová podpora



Anatomická metoda

- **Fullyho metoda (Fully 1956)** – výška lebky, výška C2-S1, fyziologická délka femuru a tibie a výška spojeného talu a calcaneu – vyžaduje kompletní skelet
- korekce měkkých tkání
 - <153,5 cm ... 10 cm
 - 153,6-165,4...10,5 cm
 - >165 cm ... 11,5 cm

Regresní rovnice

- Černý, Komenda 1979
- Trotter, Gleser 1952, 1959, 1977
 - Terryho kolekce, RTG z korejské války
 - soubor podhodnocuje ženy
 - FORDISC - forenzní případy
 - vždy zkontrolovat jednotky!!!

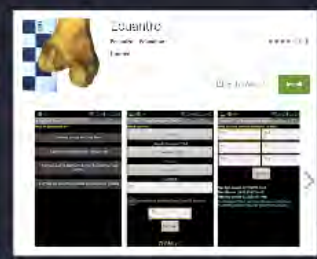
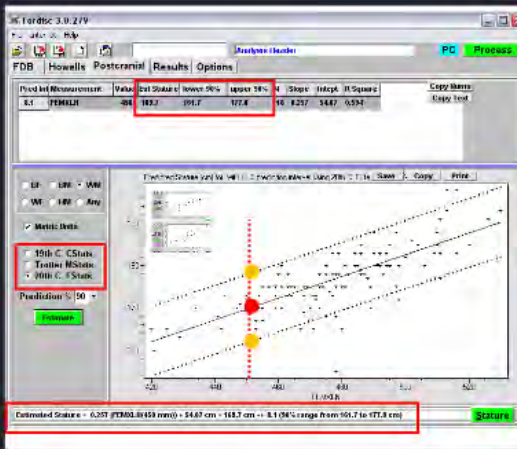
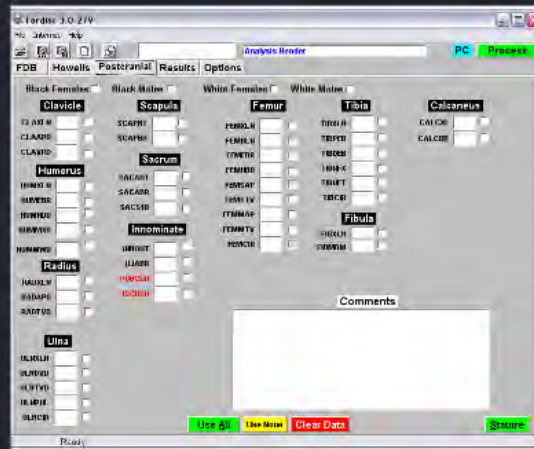
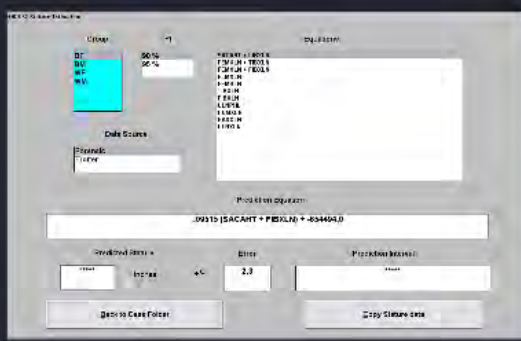
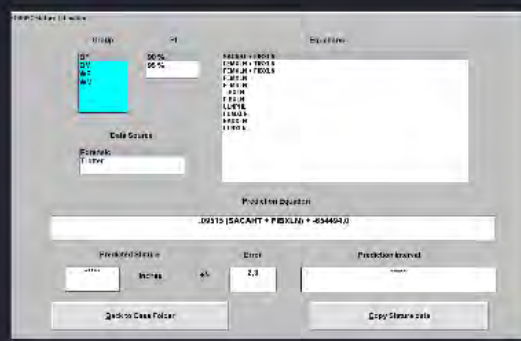
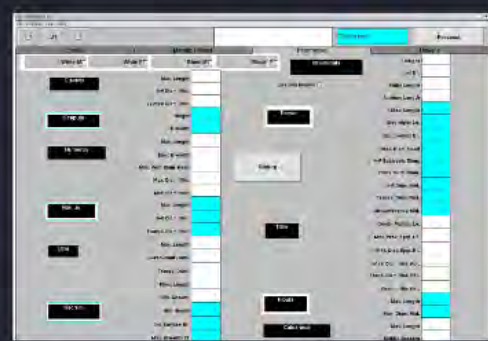
rovnice	koefficienty lineární regrese počty výpočtu a odhadu
muži - pravá ruka (cm)	0,79
VP = 20,04 + 2,285 x (H l) + 4,48 cm	130
VP = 49,59 + 1,95 x (H l) + 1,08 x (F l) + 4,02	130
ženy - levá ruka (cm)	0,80
VP = 62,22 + 3,246 x (H l) + 0,75	0,76
VP = 62,54 + 3,735 x (F l) + 4,15	0,793
VP = 54,96 + 1,018 x (H l) + 1,683 x (F l) + 8,96	0,804
ženy - pravá ruka (cm)	0,798
VP = 40,38 + 3,777 x (H l) + 4,29	0,798
VP = 40,38 + 3,777 x (F l) + 4,29	0,798
VP = 42,62 + 0,959 x (H l) + 1,949 x (F l) + 4,38	0,791
ženy - levá ruka (cm)	0,798
VP = 39,61 + 3,816 x (H l) + 5,36	0,660
VP = 38,54 + 2,807 x (F l) + 4,51	0,754
VP = 39,61 + 0,685 x (H l) + 1,948 x (F l) + 4,47	0,798

TABLE 7.1 Preferred Equations and Summary Data from Trotter and Gleser, 1952

	Equation	Standard Error	N	Mean	Variance
White males	2.38 fm + 61.41	±3.27	714	173.32	5.59
	2.08 fm + 71.78	±3.29	589	181.15	4.39
Black males	2.11 fm + 70.35	±3.56	80	182.24	5.04
	2.19 fm + 55.65	±3.06	58	184.80	4.93
White females	2.47 fm + 54.10	±3.72	83	173.96	8.41
	2.93 fm + 59.61	±3.57	63	143.34	4.59
Black females	2.29 fm + 59.79	±3.41	177	143.71	5.72
	2.49 fm + 70.90	±3.20	177	155.25	4.61

ODHAD TĚLESNÉ VÝŠKY U NEDOSPĚLÝCH			
<input checked="" type="checkbox"/> nutná korekce na věk			
<input checked="" type="checkbox"/> věkové kategorie			
<input checked="" type="checkbox"/> věk jako nezávislá proměnná – vícerozměrné modely			
<input checked="" type="checkbox"/> pohlavně-specifické modely – až vyšší věkové kategorie			
<input checked="" type="checkbox"/> Smith, S. L. (2007): Stature Estimation of 3-10-Year-Old Children from Long Bone Lengths. Journal of Forensic Sciences 52/3: 538–546.			
<input checked="" type="checkbox"/> nevýhody – vliv sekulárního trendu – odlišné uzavírání chrupavek v rámci několika generací			
Equation	SE (cm)	r^2	
Humero- Radius	0.0858(r) + 27.055	3.00	0.96
Ulna	0.0229(r) + 21.500	3.16	0.95
Femur	0.5398(r) + 23.742	2.91	0.96
Tibia	0.2928(r) + 56.923	2.46	0.97
Fibula	0.3620(r) + 37.275	2.24	0.98
Femur + tibia	0.1612(r) + 56.981	1.97	0.98

Počítačová podpora

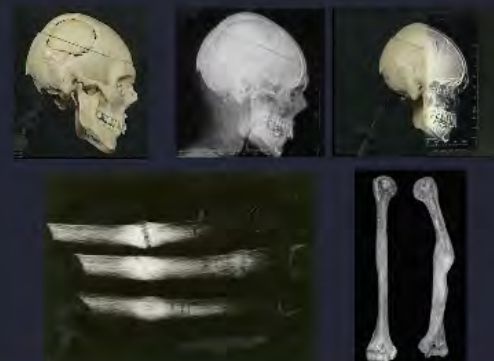


INDIVIDUÁLNÍ IDENTIFIKACE

Kostní variety



Chirurgické zákroky



Superprojekce lebky do fotografie



Zuby

